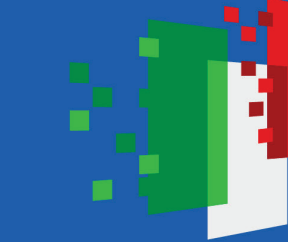




**Finanziato  
dall'Unione europea**  
NextGenerationEU



**Ministero  
dell'Università  
e della Ricerca**



**Italiadomani**  
PIANO NAZIONALE  
DI RIPRESA E RESILIENZA



**UNIVERSITÀ  
DEGLI STUDI  
DEL  
SANNIO**  
Benevento

# Free-Most Project

BANDO PUBBLICO PER LA SELEZIONE DI PROPOSTE PROGETTUALI, FINALIZZATE ALLA CONCESSIONE DI FINANZIAMENTI PER ATTIVITÀ COERENTI CON GLI OBIETTIVI DEL CENTRO NAZIONALE PER LA MOBILITÀ SOSTENIBILE, A VALERE SULLE RISORSE DEL PIANO NAZIONALE RIPRESA E RESILIENZA (PNRR) MISSIONE 4, “ISTRUZIONE E RICERCA” - COMPONENTE 2, “DALLA RICERCA ALL’IMPRESA” - LINEA DI INVESTIMENTO 1.4 “CENTRI NAZIONALI”, FINANZIATO DALL’UNIONE EUROPEA – NEXTGENERATIONEU” PROGETTO CNMS – Centro Nazionale Mobilità Sostenibile – Codice Identificativo CN00000023, SPOKE 12 – SUSTAINABLE PROPULSION – CUP B43C22000440001

Presenter: Davide Liuzza (University of Sannio)

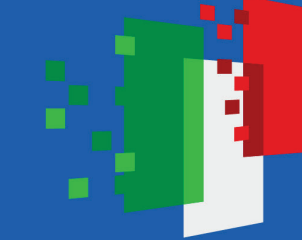
June 19<sup>th</sup>, 2025



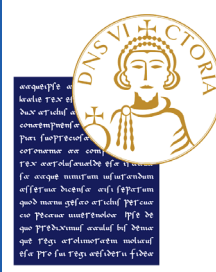
**Finanziato  
dall'Unione europea**  
NextGenerationEU



**Ministero  
dell'Università  
e della Ricerca**



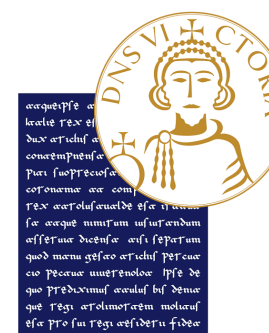
**Italidomani**  
PIANO NAZIONALE  
DI RIPRESA E RESILIENZA



**UNIVERSITÀ  
DEGLI STUDI  
DEL  
SANNIO**  
Benevento

## Project overview

- Name: **Free-Most**
- Duration: **10 months** (started on August 2024)
- Budget: **270.000 €**
- Partners:
  - **University of Sannio**
  - **CNR – STEMS**
  - **Vanvitelli University**



**UNIVERSITÀ  
DEGLI STUDI  
DEL  
SANNIO**  
Benevento

Consiglio Nazionale delle Ricerche  
**STEMS**  
Istituto di Scienze e Tecnologie per l'Energia e la Mobilità Sostenibili

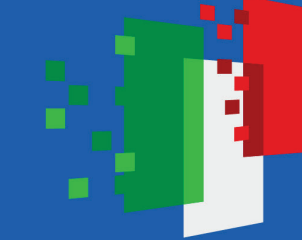
**V:** Università  
degli Studi  
della Campania  
*Luigi Vanvitelli*



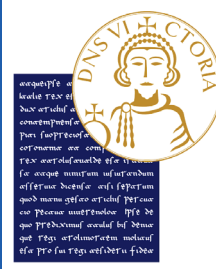
**Finanziato  
dall'Unione europea**  
NextGenerationEU



**Ministero  
dell'Università  
e della Ricerca**



**Italiadomani**  
PIANO NAZIONALE  
DI RIPRESA E RESILIENZA



**UNIVERSITÀ  
DEGLI STUDI  
DEL  
SANNIO**  
Benevento

## Project aim in brief

- Modeling study of free piston linear generator (FPLG) system with a specific focus on the electromagnetic part jointly with power converter and a battery
- Control system study and design for a FPLG coupled with battery
- Digital twin development for the system FPLG + power converter + battery
- Magnetic design of a FPLG
- Desing and setup of an experimental test rig for a FPLG system



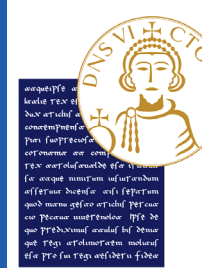
Finanziato  
dall'Unione europea  
NextGenerationEU



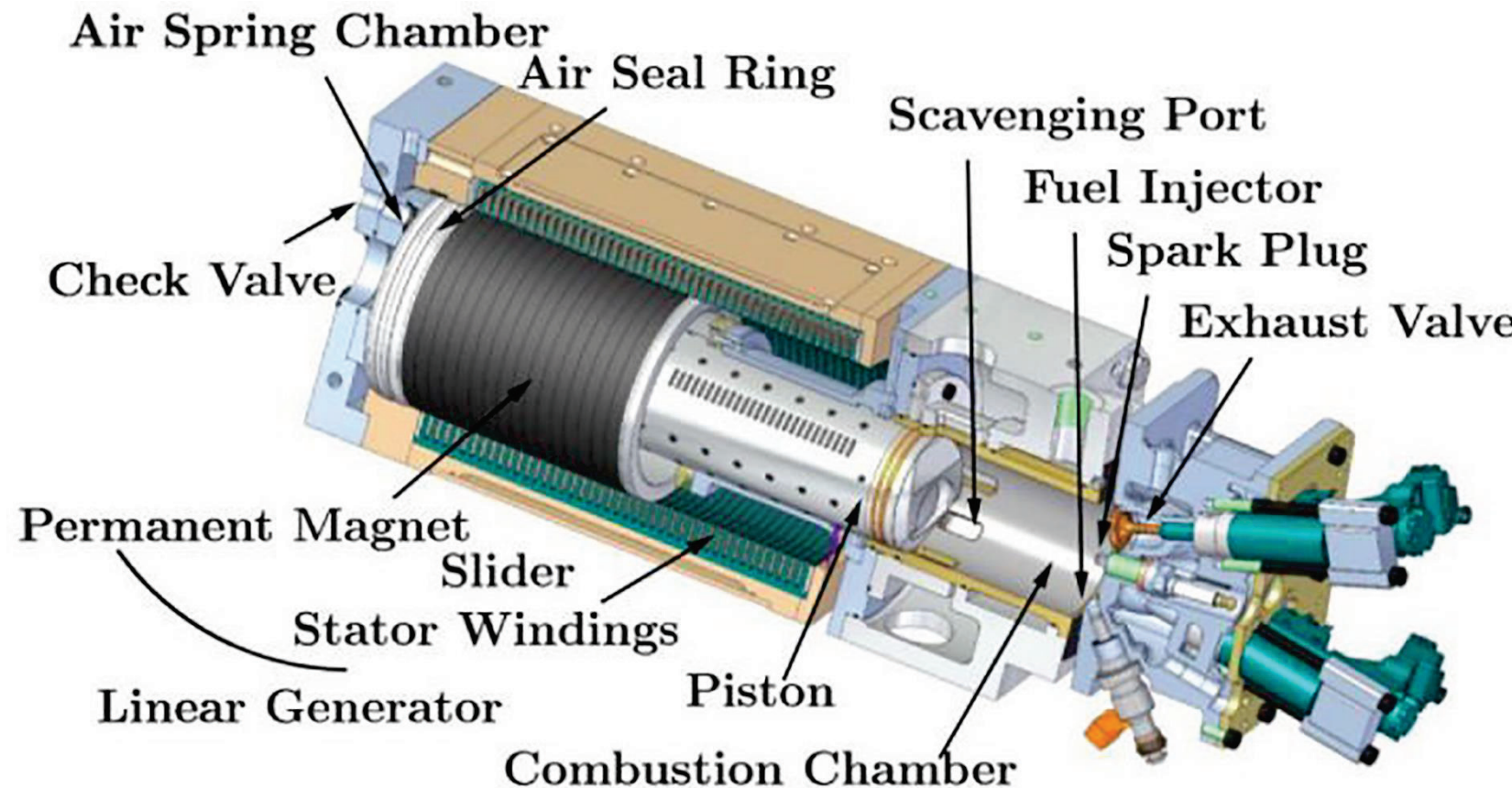
Ministero  
dell'Università  
e della Ricerca



Italiadomani  
PIANO NAZIONALE  
DI RIPRESA E RESILIENZA



UNIVERSITÀ  
DEGLI STUDI  
DEL  
SANNIO  
Benevento

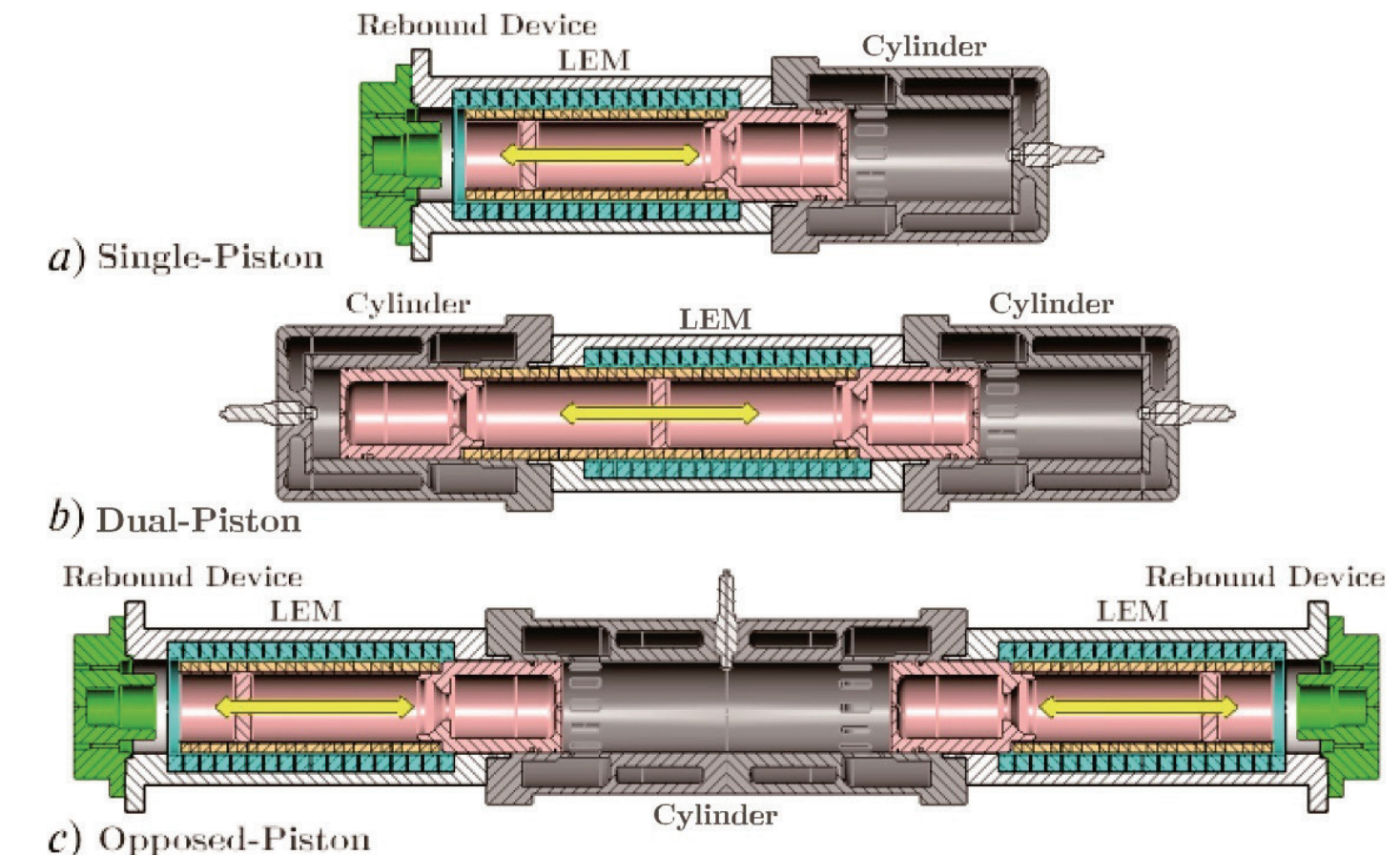


A Toyota gas FPLG

## What is a FPLG?

- Main components:
  - Combustion chamber(s)
  - Linear electric motor/generator (permanent magnets on the mover)
  - Rebound chamber

- Main configurations

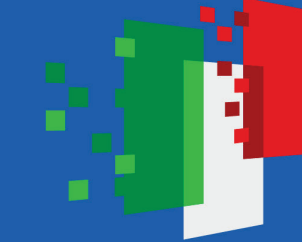




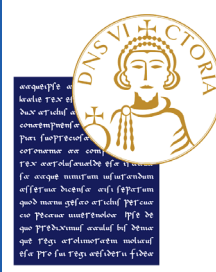
Finanziato  
dall'Unione europea  
NextGenerationEU



Ministero  
dell'Università  
e della Ricerca



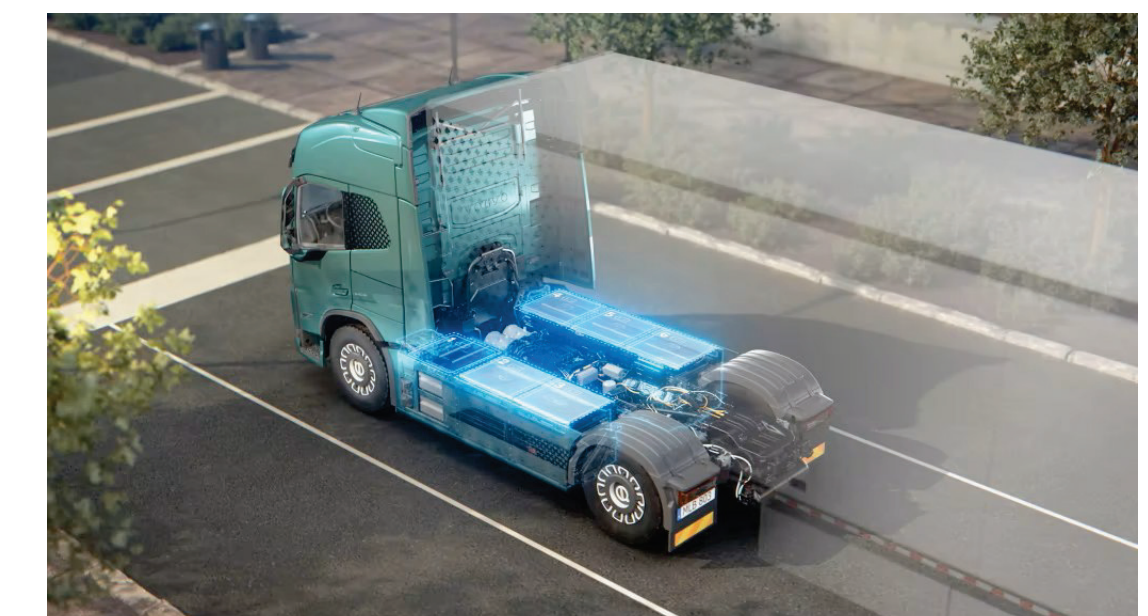
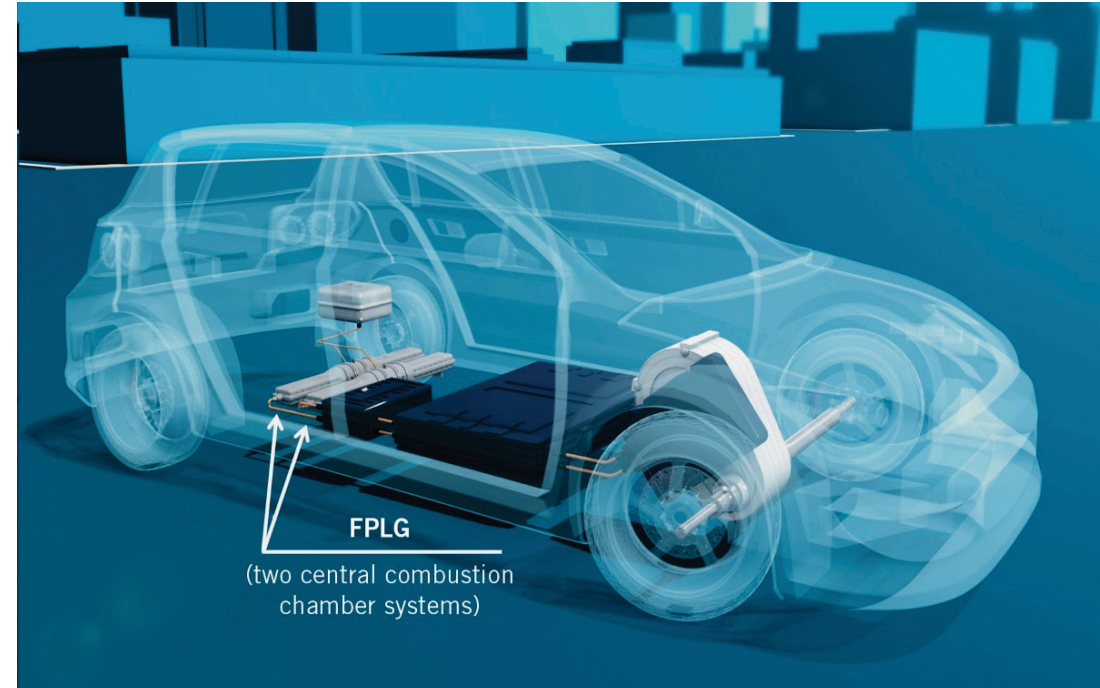
Italiadomani  
PIANO NAZIONALE  
DI RIPRESA E RESILIENZA



UNIVERSITÀ  
DEGLI STUDI  
DEL  
SANNIO  
Benevento

## Motivation

- The EU has clearly set its sights on battery electric mobility
- Large sectors of transportation (especially heavy vehicles, work machinery and shipping) are ill-suited for battery storage-based traction
- Battery-powered cars are not experiencing the expected market growth:
  - Insufficient recharging infrastructure
  - higher costs compared to traditional traction (both vehicles and recharges)
- Battery based solutions do not guarantee, at the moment, EU independence from battery producers, especially China

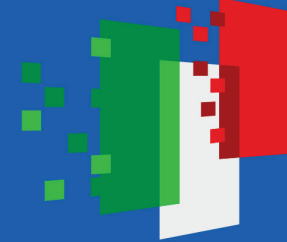




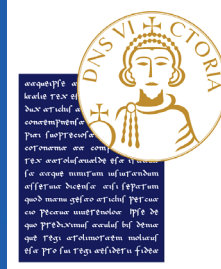
Finanziato  
dall'Unione europea  
NextGenerationEU



Ministero  
dell'Università  
e della Ricerca



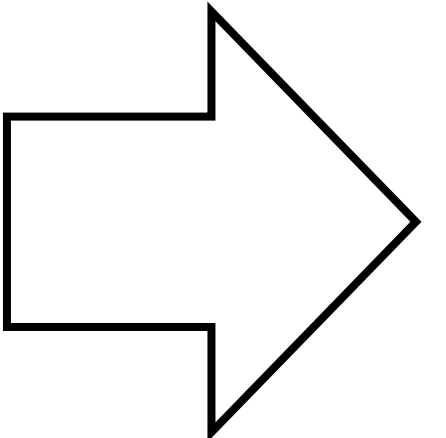
Italiadomani  
PIANO NAZIONALE  
DI RIPRESA E RESILIENZA



UNIVERSITÀ  
DEGLI STUDI  
DEL  
SANNIO  
Benevento

## Motivation

- The EU has clearly set its sights on battery electric mobility
- Large sectors of transportation (especially heavy vehicles, work machinery and shipping) are ill-suited for battery storage-based traction
- Battery-powered cars are not experiencing the expected market growth:
  - Insufficient recharging infrastructure
  - higher costs compared to traditional traction (both vehicles and recharges)
- Battery based solutions do not guarantee, at the moment, EU independence from battery producers, especially China



- Need for technical solutions for large transportation sectors
- Need for economically feasible transitions solution ( $\text{CO}_2$  reduction despite immature infrastructure)
- Need for strategic alternatives



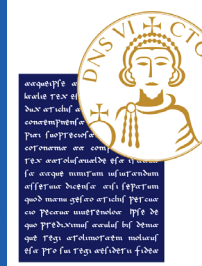
Finanziato  
dall'Unione europea  
NextGenerationEU



Ministero  
dell'Università  
e della Ricerca



Italiadomani  
PIANO NAZIONALE  
DI RIPRESA E RESILIENZA



UNIVERSITÀ  
DEGLI STUDI  
DEL  
SANNIO  
Benevento

## Advantages of FPLG solutions

### Automotive

- FPLGs represent a potential alternative for range-extender automotive solutions
  - Less vibrations and noise due to the absence of crankshaft
  - Higher potential efficiency due to reduced friction forces
  - Adaptable combustion chamber
  - Multi-fuel
- High potential in the Italian automotive market (a green transition acceptable by consumers) allowing for high production values:
  - Italian engineering industry invoices about 400 billions € (8% of GDP)
  - Italian engineering industry accounts for more than half of Italy's exports

### Other sectors

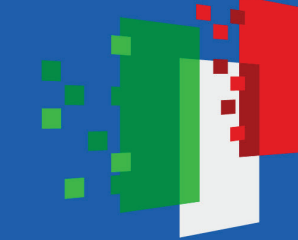
- Due to its compact size, FPLG can be also envisioned for:
  - Uninterrupted/Emergency power systems
  - Auxiliary power units for aircrafts, ships and large vehicles
  - Residential co-generation units



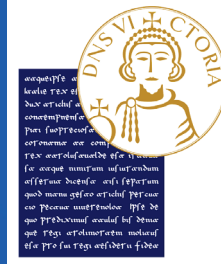
**Finanziato  
dall'Unione europea**  
NextGenerationEU



**Ministero  
dell'Università  
e della Ricerca**



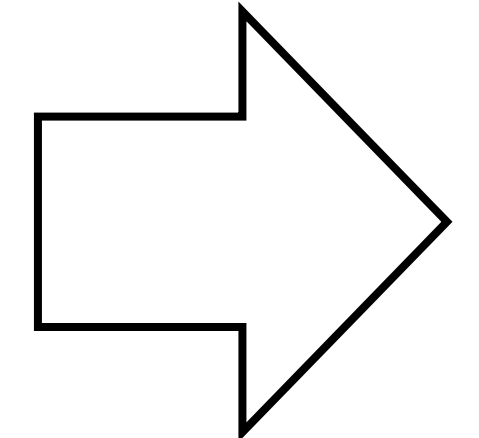
**Italiadomani**  
PIANO NAZIONALE  
DI RIPRESA E RESILIENZA



**UNIVERSITÀ  
DEGLI STUDI  
DEL  
SANNIO**  
Benevento

## Challenges of FPLG

- Difficult to control the FPLG motion/generation due to non-constant velocities of the piston
- Difficult to integrate battery and converter models with the FPLG model
- Difficult to handle fluctuating currents for battery recharging
- Lack of sufficient theoretical and experimental studies for specific range extender applications



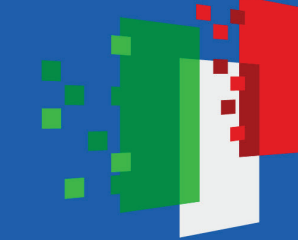
- As said, the Free-Most projects aims to address these issues



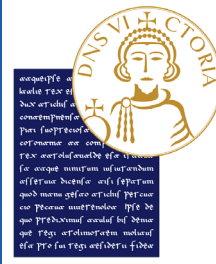
**Finanziato  
dall'Unione europea**  
NextGenerationEU



**Ministero  
dell'Università  
e della Ricerca**



**Italiadomani**  
PIANO NAZIONALE  
DI RIPRESA E RESILIENZA



**UNIVERSITÀ  
DEGLI STUDI  
DEL  
SANNIO**  
Benevento

## Modeling - overview

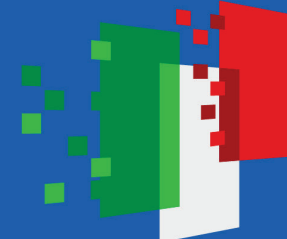
- The modeling has been conducted under some constructive assumptions:
  - Opposed piston with perfectly symmetric forces, i.e., reduced to the single piston case
  - Ideal gas assumption
  - Lumped parameters, uniform temperature and gas pressure
  - Three-phase motor
  - Only self inductance is considered for each coil



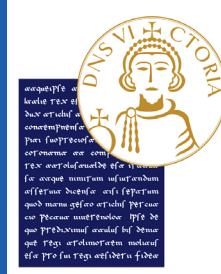
**Finanziato  
dall'Unione europea**  
NextGenerationEU



**Ministero  
dell'Università  
e della Ricerca**



**Italiadomani**  
PIANO NAZIONALE  
DI RIPRESA E RESILIENZA



**UNIVERSITÀ  
DEGLI STUDI  
DEL  
SANNIO**  
Benevento

## Modeling - scheme

### Mechanical model

$$m \frac{dv}{dt} = A_c p_c - A_r p_r + F_e(z, i_{rst}) - F_f(p_c, v) - F_f(p_r, v)$$

$$\frac{dz}{dt} = v$$

$$\updownarrow p_c, z, v$$

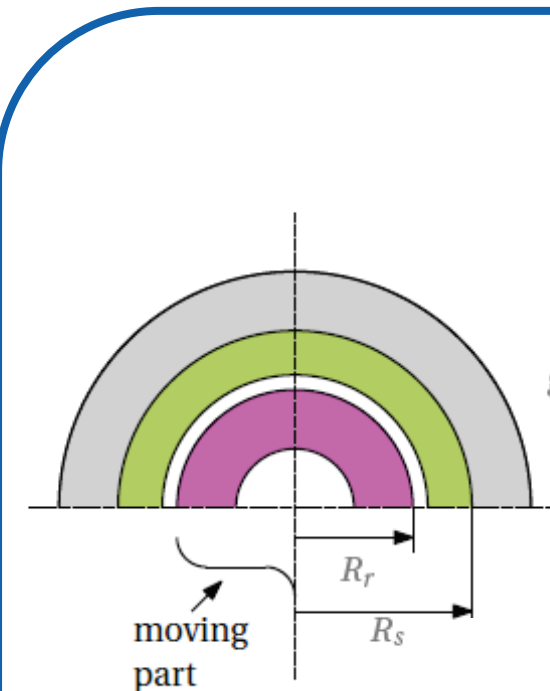
$$i_{rst}, e_{rst}$$

$$z, v, i_{rst}$$

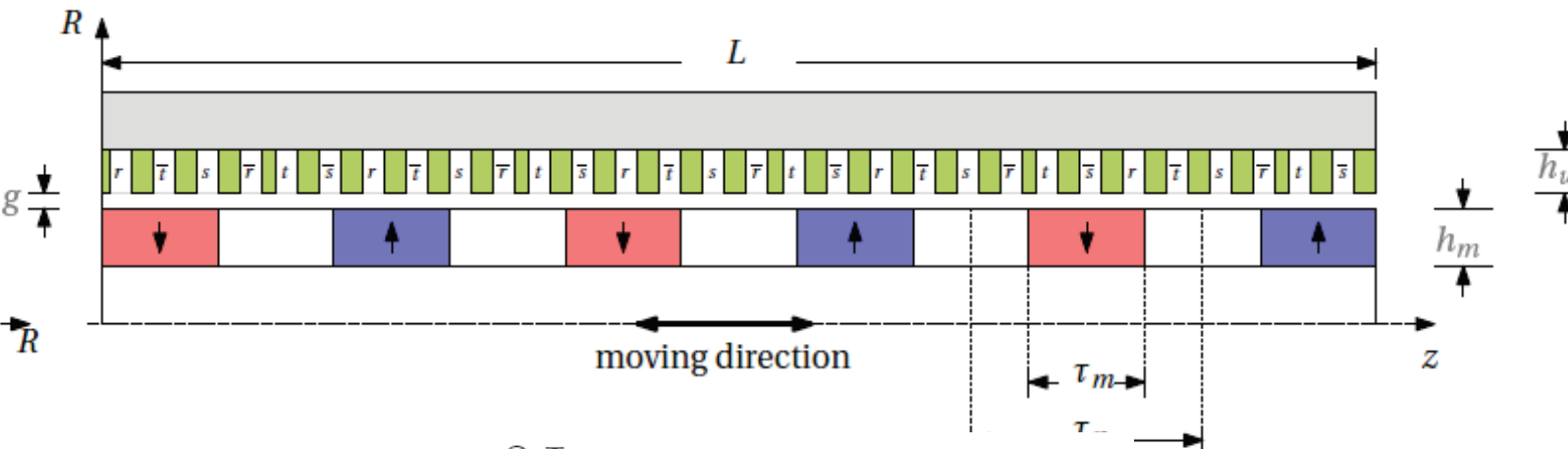
### Thermodynamical model

$$\frac{dp_c}{dt} = \frac{\gamma - 1}{A_c z + V_0} (\dot{Q}_c - \dot{Q}_{ht}(p_c, z)) - \frac{p_c \gamma}{m_{air}} \frac{dm_{air}}{dt} - \frac{A_c p_c \gamma}{A_c z + V_0} v$$

❖ S. Baccari, C. Beatrice, C. Capasso, ..., O. Veneri, "Integration of free piston linear generator and battery pack in hybrid vehicles", ESARS-ITEC 2024



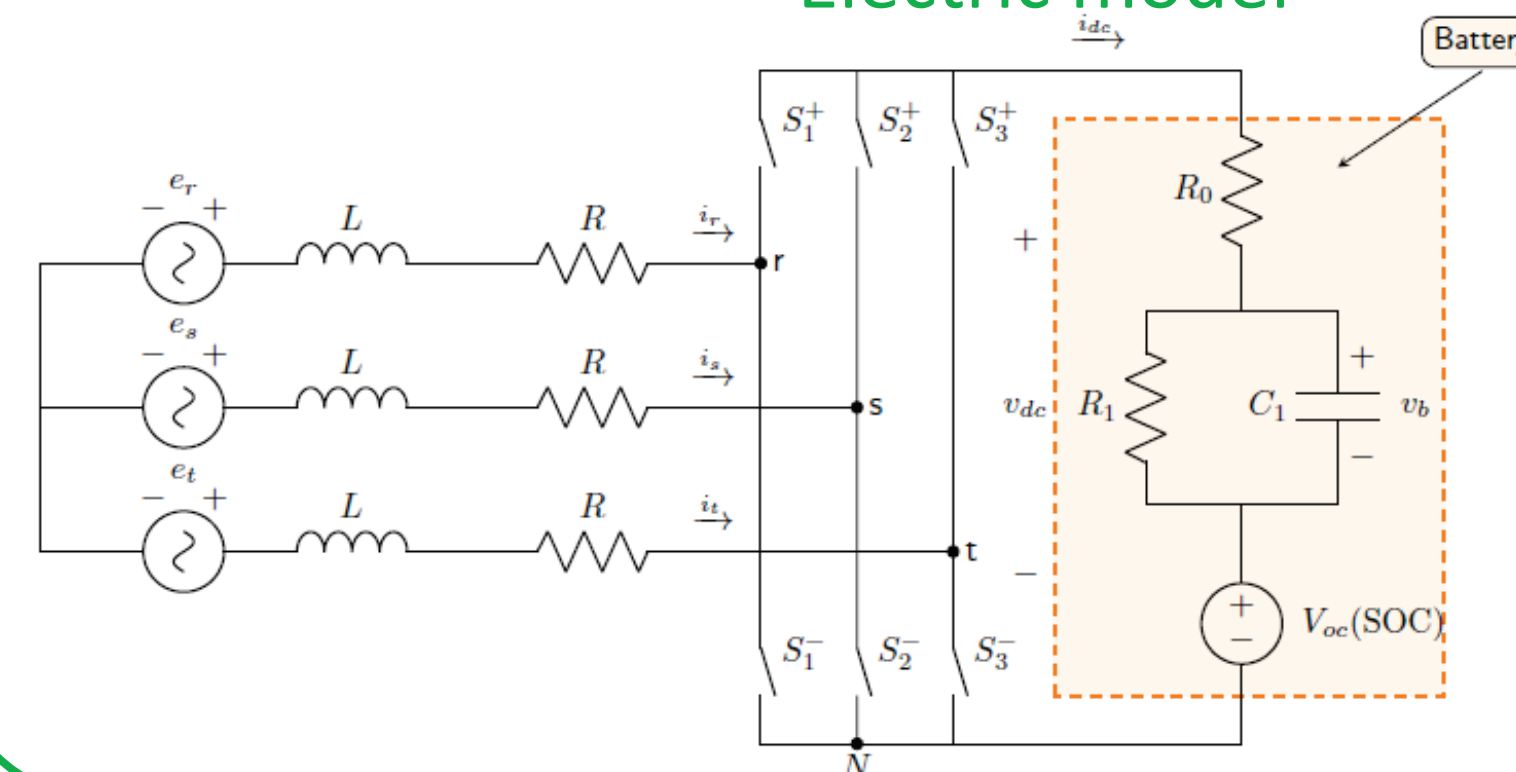
### Magnetic model



$$e_{rst} = -v \frac{\partial \Phi_{rst}}{\partial z}$$

$$F_e(z, i_{rst}) = \frac{1}{v} e_{rst}^\top i_{rst} = -\frac{\partial \Phi_{rst}^\top}{\partial z} i_{rst}$$

### Electric model



$$\begin{aligned} L \frac{di_{\alpha\beta}}{dt} &= -R i_{\alpha\beta} + e_{\alpha\beta} - \sigma_{\alpha\beta} v_{dc} \\ C_1 \frac{dv_b}{dt} &= -\frac{1}{R_1} v_b + i_{dc} \\ \frac{dSoC}{dt} &= \frac{1}{Q} i_{dc} \\ \sigma_{\alpha\beta}^\top i_{\alpha\beta} &= \frac{2}{3} \sigma_{rst}^\top i_{rst} = \frac{2}{3} i_{dc} \end{aligned}$$

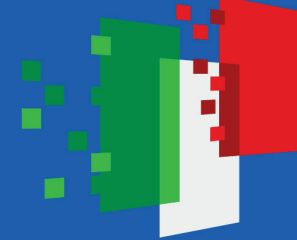
- $z, v$  position, velocity
- $p_c$  chamber pressure
- $i_{rst}$  currents
- $e_{rst}$  voltages
- $\Phi_{rst}$  magnetic flows
- $\sigma_{rst}$  switch signals
- $i_{dc}$  battery current
- $SoC$  state of charge



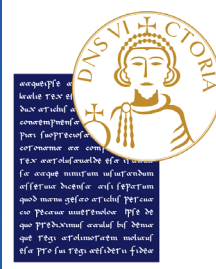
**Finanziato  
dall'Unione europea**  
NextGenerationEU



**Ministero  
dell'Università  
e della Ricerca**



**Italiadomani**  
PIANO NAZIONALE  
DI RIPRESA E RESILIENZA



**UNIVERSITÀ  
DEGLI STUDI  
DEL  
SANNIO**  
Benevento

## Control – assumptions

- For the three phase model a control has been derived
- This control is meant for the project envisioned test rig:
  - The piston is moved according to a mover which emulates the combustion expansion and rebound (or any periodic movement)
  - The current generation is controlled so as to recharge a battery
- Fast switching (averaging) assumption:
  - Signals of the switches are continuous in the interval  $[0,1]$

❖ E. Mostacciulo, S. Baccari, C. Beatrice, L. Rubino, ...., F. Vasca, "Power extraction for free piston linear generator", ICCEP 2025



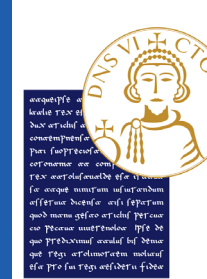
Finanziato  
dall'Unione europea  
NextGenerationEU



Ministero  
dell'Università  
e della Ricerca



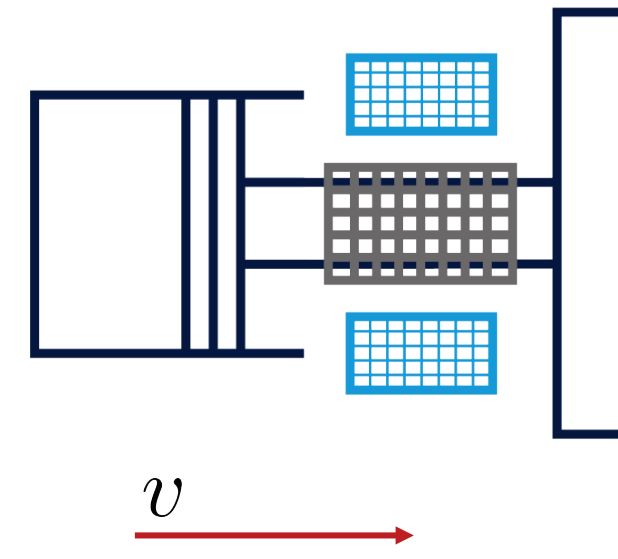
Italiadomani  
PIANO NAZIONALE  
DI RIPRESA E RESILIENZA



UNIVERSITÀ  
DEGLI STUDI  
DEL  
SANNIO  
Benevento

## Control – piston movement

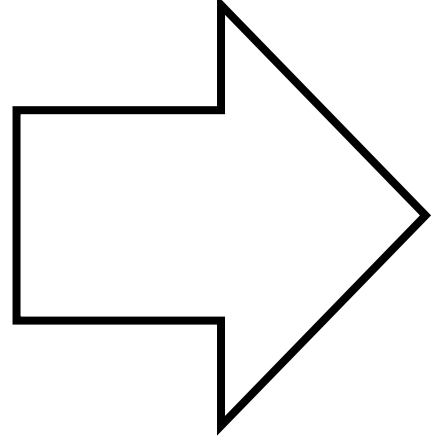
- We consider a harmonic movement of the piston to design the controller



$$v = V \cos \theta_m$$

$$\theta_m = \omega_m t, \omega_m = 2\pi/T_m$$

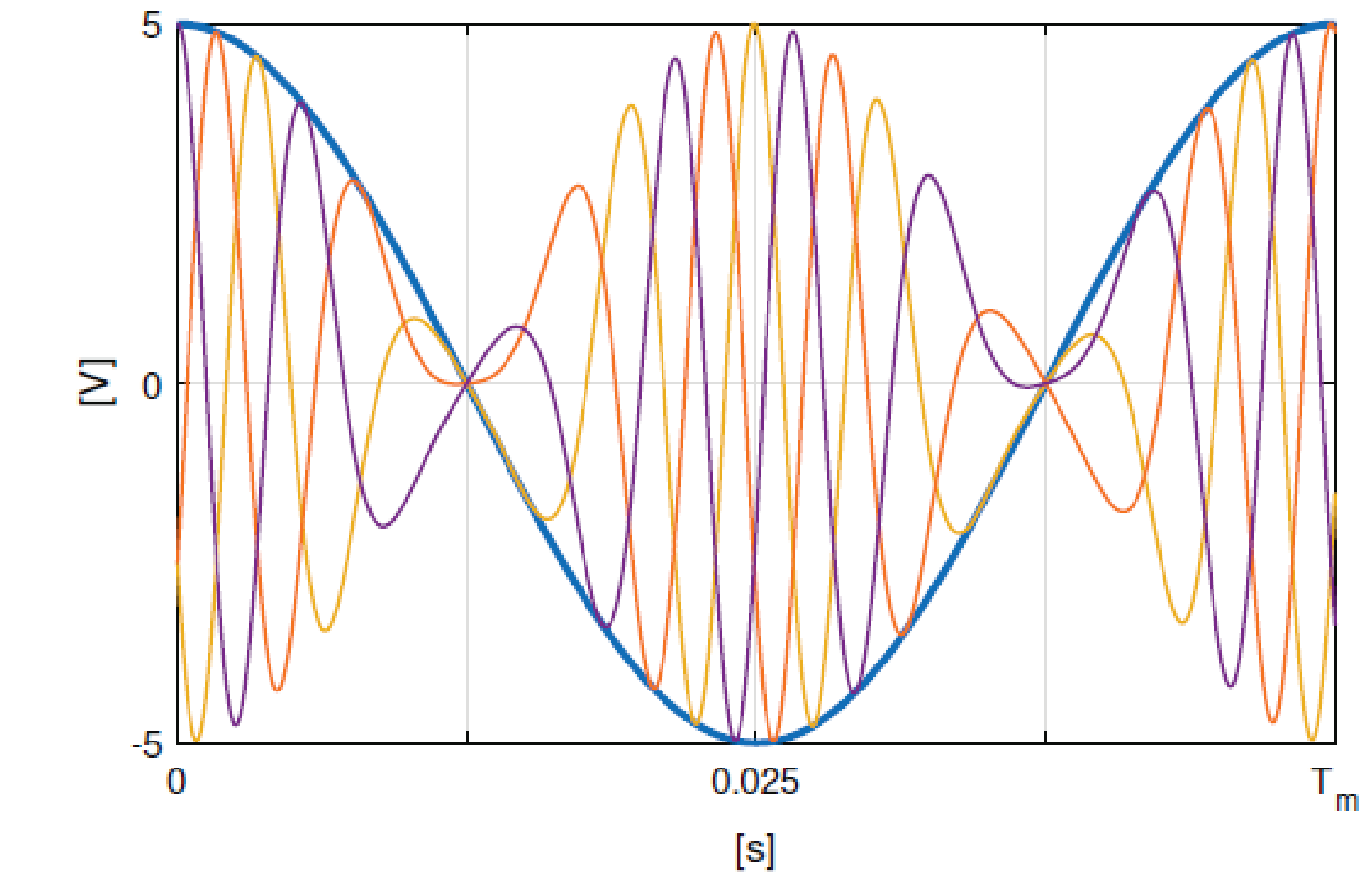
complete trip (forward-backward) period



$$e_{rst} = \varphi v \begin{pmatrix} \cos \theta \\ \cos(\theta - \frac{2\pi}{3}) \\ \cos(\theta - \frac{4\pi}{3}) \end{pmatrix}$$

$$\frac{d\theta}{dt} = \frac{\hat{\mu}}{V} \omega_m |v| = \mu \omega_m |v|$$

electrical phase



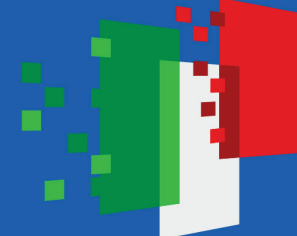
Time evolution of  $v$  and normalized voltages  $e_{rst}/\varphi$



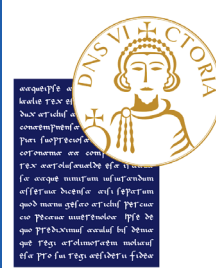
Finanziato  
dall'Unione europea  
NextGenerationEU



Ministero  
dell'Università  
e della Ricerca



Italiadomani  
PIANO NAZIONALE  
DI RIPRESA E RESILIENZA



UNIVERSITÀ  
DEGLI STUDI  
DEL  
SANNIO  
Benevento

## Control – Clarke transformation and notch filter

- Three phase

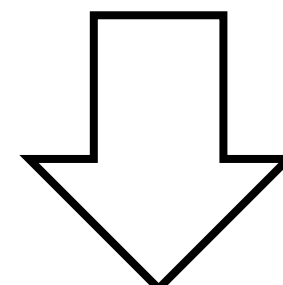
$$L \frac{dx_r}{dt} = -Rx_r + e_r - e_s + L \frac{dx_s}{dt} + Rx_s - (q_r - q_s)e_b$$

$$L \frac{dx_s}{dt} = -Rx_s + e_s - e_t + L \frac{dx_t}{dt} + Rx_t - (q_s - q_t)e_b$$

$$L \frac{dx_t}{dt} = -Rx_t + e_t - e_r + L \frac{dx_r}{dt} + Rx_r - (q_t - q_r)e_b$$

- Switches

$$q_j = \begin{cases} 1 & \text{if } S_j^+ \text{ is on and } S_j^- \text{ is off} \\ 0 & \text{otherwise} \end{cases}$$



Clarke transformation

$$L \frac{di_{\alpha\beta}}{dt} = -Ri_{\alpha\beta} + e_{\alpha\beta} - \sigma_{\alpha\beta}e_b$$

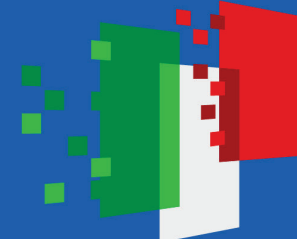
$$e_{\alpha\beta} = \varphi v \begin{pmatrix} \cos \theta \\ \sin \theta \end{pmatrix}$$



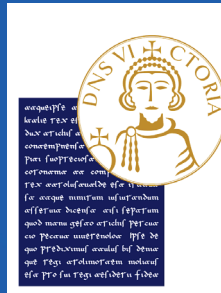
**Finanziato  
dall'Unione europea**  
NextGenerationEU



**Ministero  
dell'Università  
e della Ricerca**



**Italiadomani**  
PIANO NAZIONALE  
DI RIPRESA E RESILIENZA



**UNIVERSITÀ  
DEGLI STUDI  
DEL  
SANNIO**  
Benevento

## Control – Clarke transformation and notch filter

- Three phase

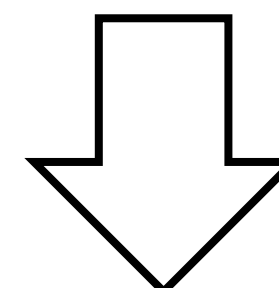
$$L \frac{dx_r}{dt} = -Rx_r + e_r - e_s + L \frac{dx_s}{dt} + Rx_s - (q_r - q_s)e_b$$

$$L \frac{dx_s}{dt} = -Rx_s + e_s - e_t + L \frac{dx_t}{dt} + Rx_t - (q_s - q_t)e_b$$

$$L \frac{dx_t}{dt} = -Rx_t + e_t - e_r + L \frac{dx_r}{dt} + Rx_r - (q_t - q_r)e_b$$

- Switches

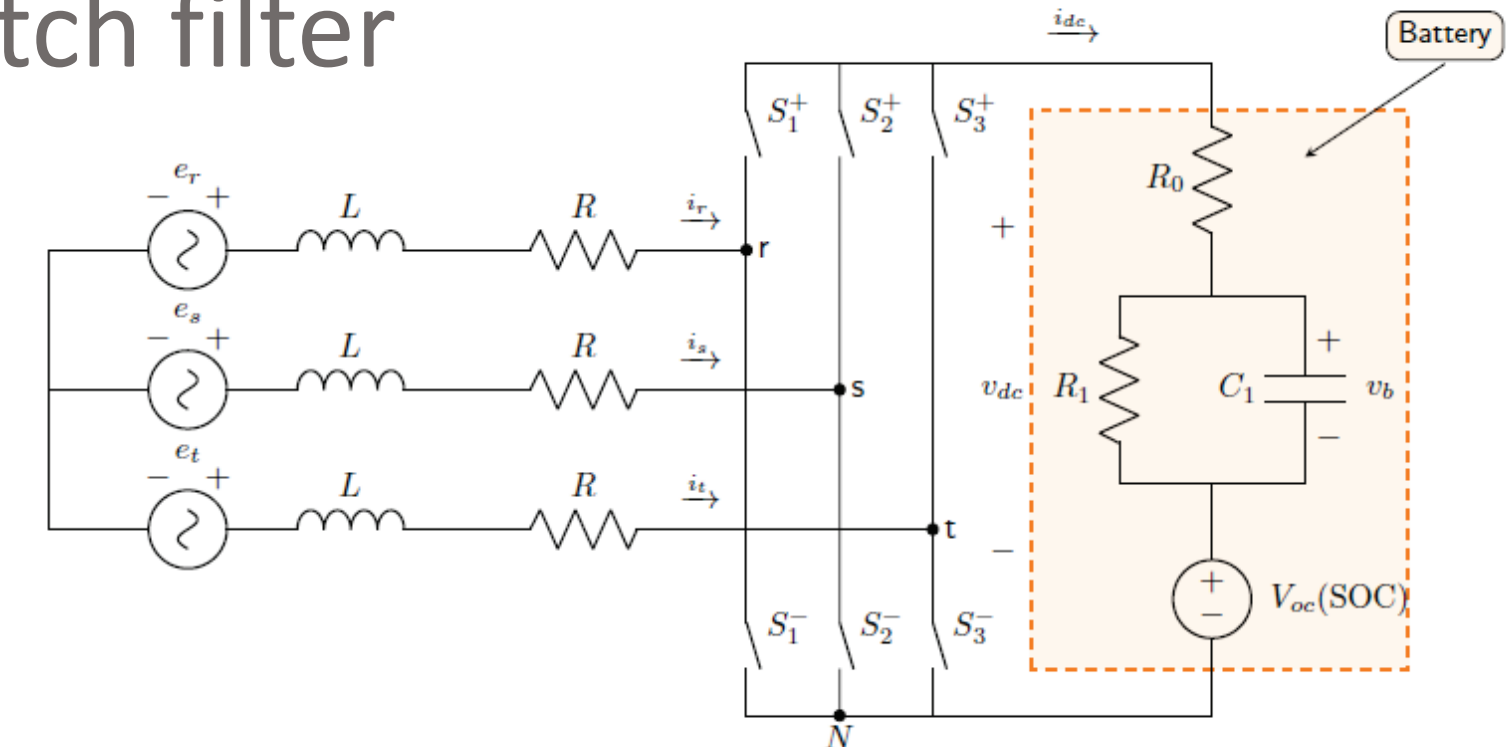
$$q_j = \begin{cases} 1 & \text{if } S_j^+ \text{ is on and } S_j^- \text{ is off} \\ 0 & \text{otherwise} \end{cases}$$



Clarke transformation

$$L \frac{di_{\alpha\beta}}{dt} = -Ri_{\alpha\beta} + e_{\alpha\beta} - \sigma_{\alpha\beta}e_b$$

$$e_{\alpha\beta} = \varphi v \begin{pmatrix} \cos \theta \\ \sin \theta \end{pmatrix}$$

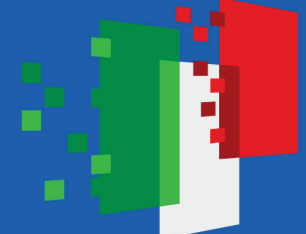




**Finanziato  
dall'Unione europea**  
NextGenerationEU



**Ministero  
dell'Università  
e della Ricerca**



**Italidomani**  
PIANO NAZIONALE  
DI RIPRESA E RESILIENZA



**UNIVERSITÀ  
DEGLI STUDI  
DEL  
SANNIO**  
Benevento

## Control – Clarke transformation and notch filter

- Three phase

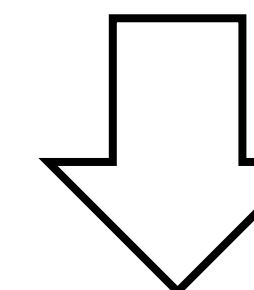
$$L \frac{dx_r}{dt} = -Rx_r + e_r - e_s + L \frac{dx_s}{dt} + Rx_s - (q_r - q_s)e_b$$

$$L \frac{dx_s}{dt} = -Rx_s + e_s - e_t + L \frac{dx_t}{dt} + Rx_t - (q_s - q_t)e_b$$

$$L \frac{dx_t}{dt} = -Rx_t + e_t - e_r + L \frac{dx_r}{dt} + Rx_r - (q_t - q_r)e_b$$

- Switches

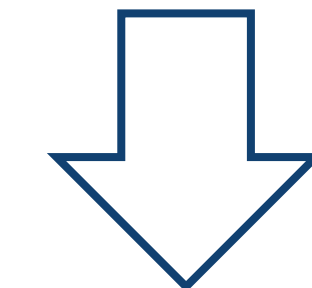
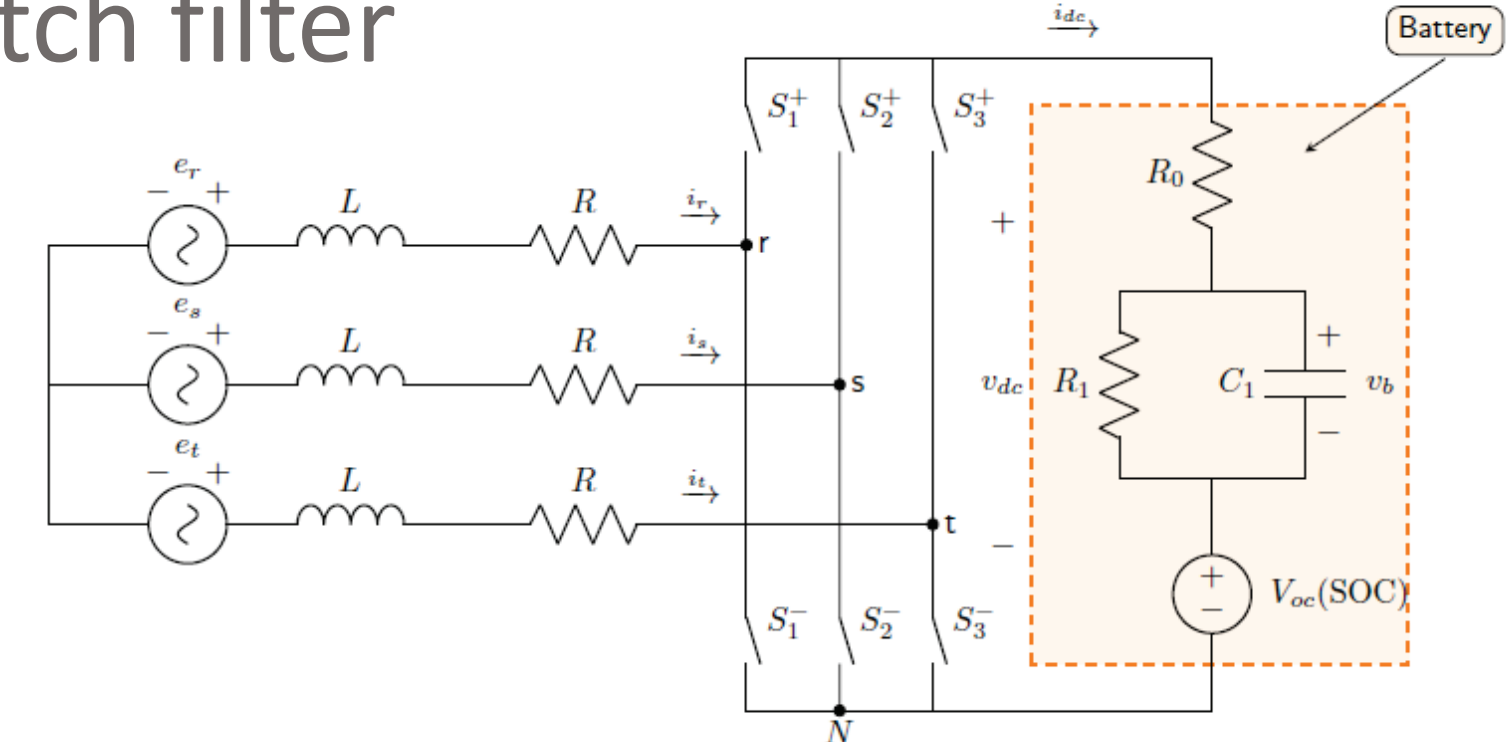
$$q_j = \begin{cases} 1 & \text{if } S_j^+ \text{ is on and } S_j^- \text{ is off} \\ 0 & \text{otherwise} \end{cases}$$



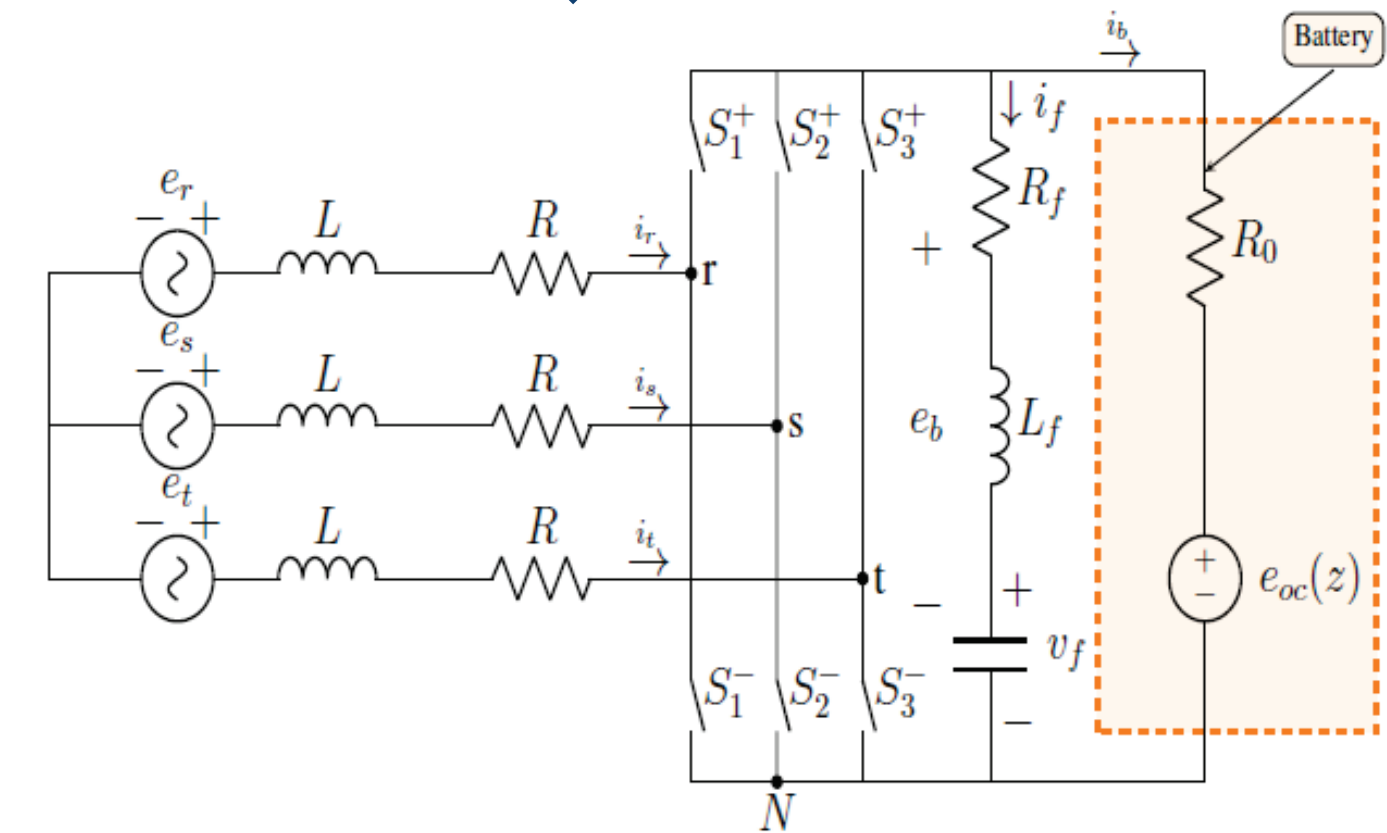
Clarke transformation

$$L \frac{di_{\alpha\beta}}{dt} = -Ri_{\alpha\beta} + e_{\alpha\beta} - \sigma_{\alpha\beta}e_b$$

$$e_{\alpha\beta} = \varphi v \begin{pmatrix} \cos \theta \\ \sin \theta \end{pmatrix}$$



A notch filter is added

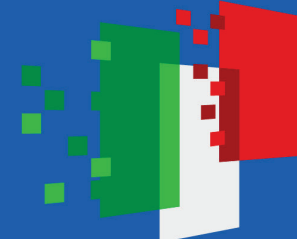




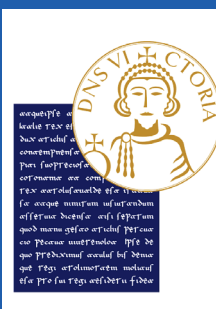
**Finanziato  
dall'Unione europea**  
NextGenerationEU



**Ministero  
dell'Università  
e della Ricerca**



**Italiadomani**  
PIANO NAZIONALE  
DI RIPRESA E RESILIENZA



**UNIVERSITÀ  
DEGLI STUDI  
DEL  
SANNIO**  
Benevento

## Control – Clarke transformation and notch filter

- Three phase

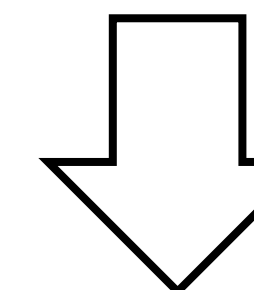
$$L \frac{dx_r}{dt} = -Rx_r + e_r - e_s + L \frac{dx_s}{dt} + Rx_s - (q_r - q_s)e_b$$

$$L \frac{dx_s}{dt} = -Rx_s + e_s - e_t + L \frac{dx_t}{dt} + Rx_t - (q_s - q_t)e_b$$

$$L \frac{dx_t}{dt} = -Rx_t + e_t - e_r + L \frac{dx_r}{dt} + Rx_r - (q_t - q_r)e_b$$

- Switches

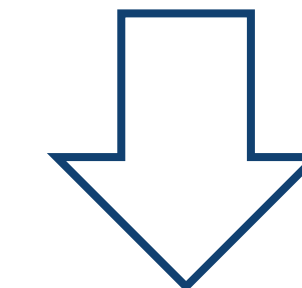
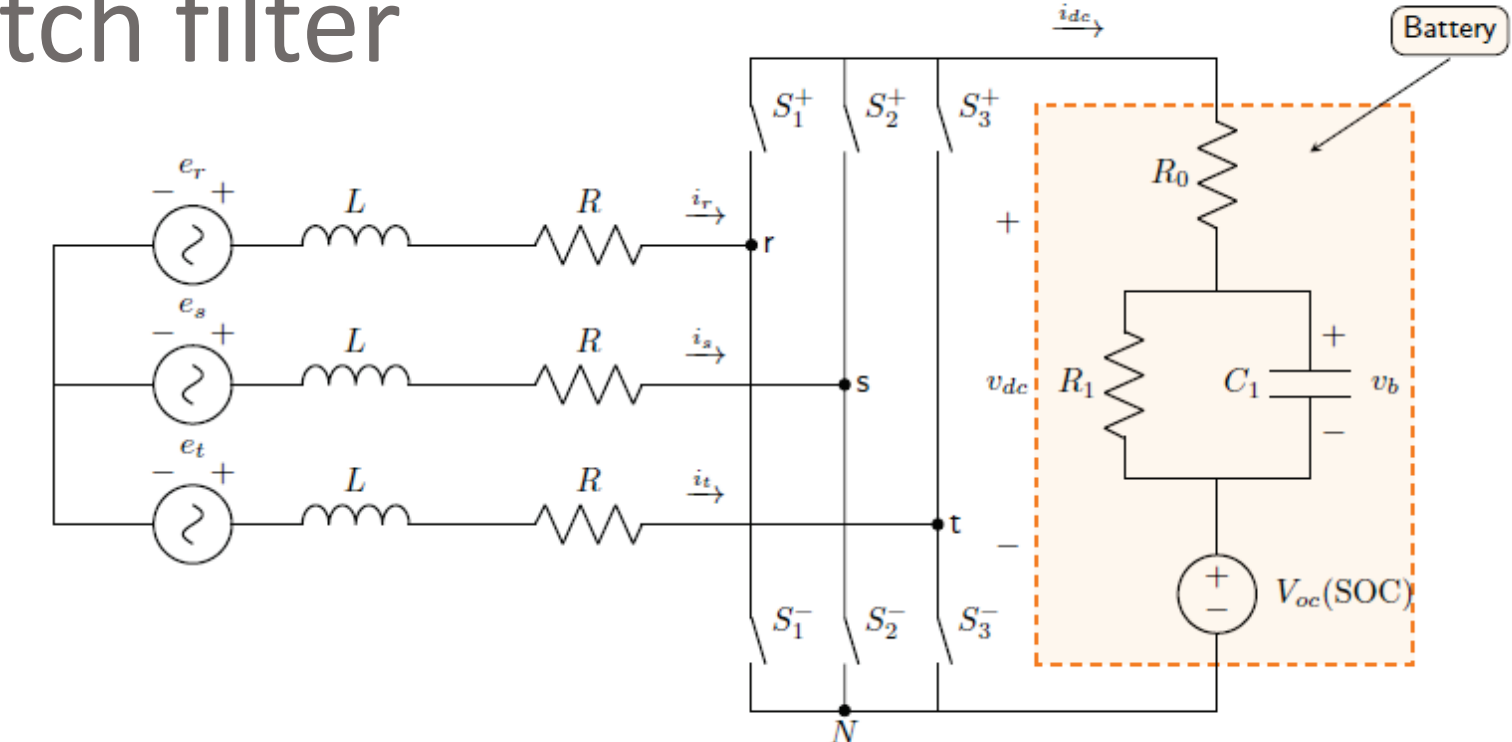
$$q_j = \begin{cases} 1 & \text{if } S_j^+ \text{ is on and } S_j^- \text{ is off} \\ 0 & \text{otherwise} \end{cases}$$



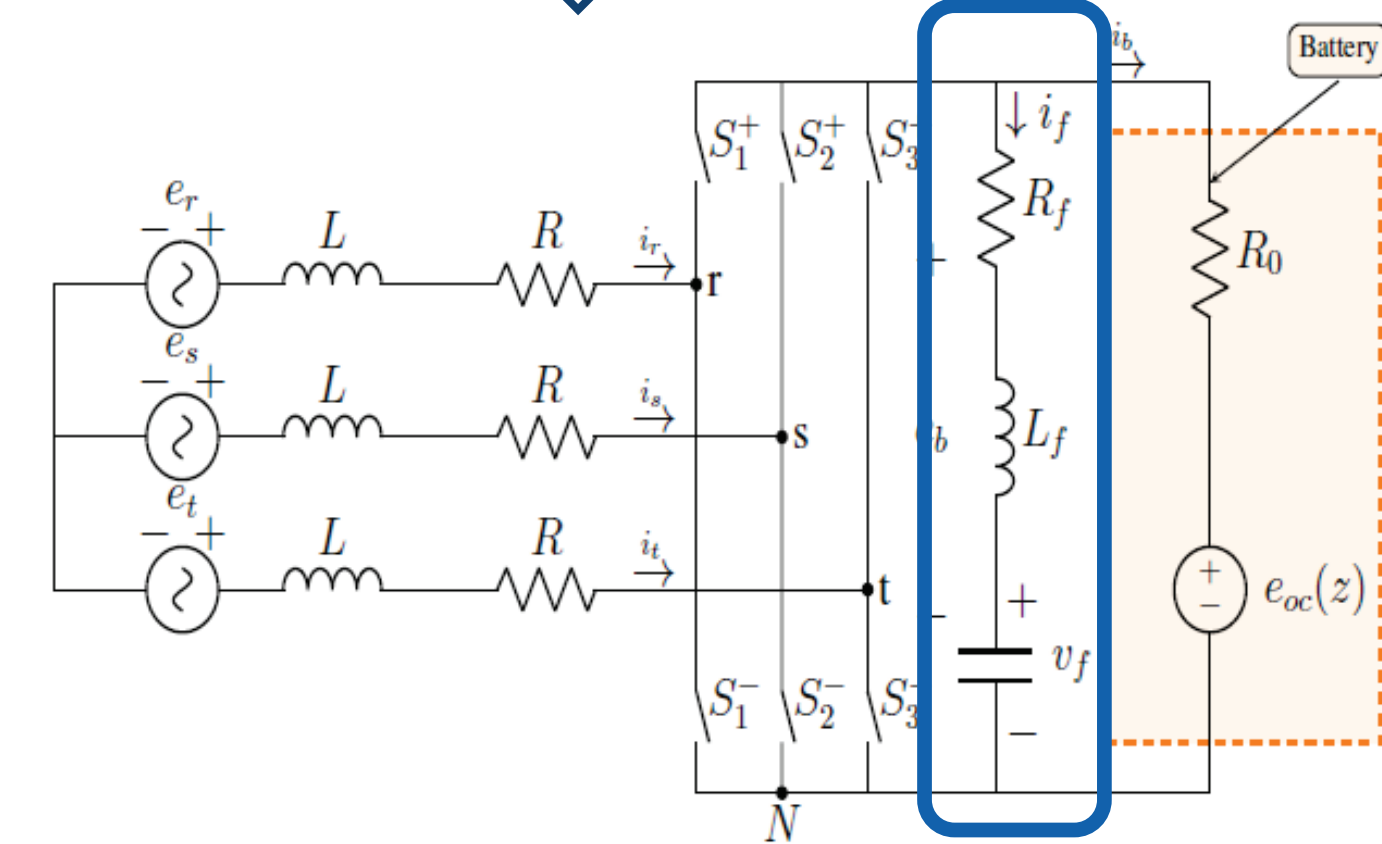
Clarke transformation

$$L \frac{di_{\alpha\beta}}{dt} = -Ri_{\alpha\beta} + e_{\alpha\beta} - \sigma_{\alpha\beta}e_b$$

$$e_{\alpha\beta} = \varphi v \begin{pmatrix} \cos \theta \\ \sin \theta \end{pmatrix}$$



A notch filter is added





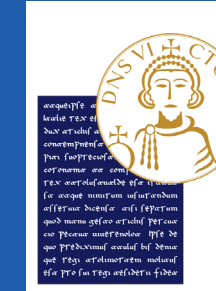
Finanziato  
dall'Unione europea  
NextGenerationEU



Ministero  
dell'Università  
e della Ricerca



Italiadomani  
PIANO NAZIONALE  
DI RIPRESA E RESILIENZA



UNIVERSITÀ  
DEGLI STUDI  
DEL  
SANNIO  
Benevento

## Control – Filter and battery

- Current from the FPLG

$$\sigma_{\alpha\beta}^\top i_{\alpha\beta} = \frac{2}{3}y$$

$$y = i_b + i_f$$

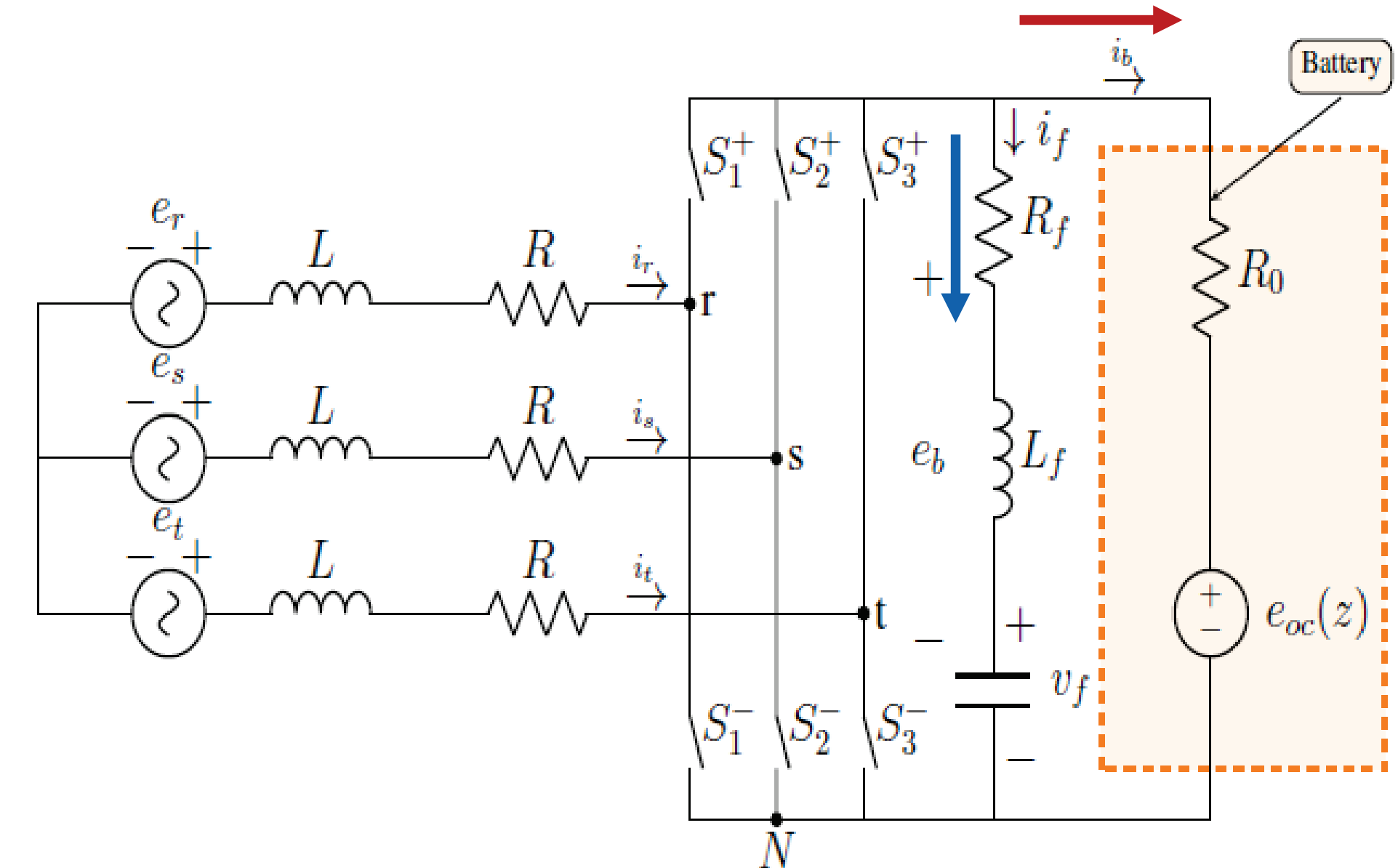
- Filter

$$L_f \frac{di_f}{dt} = -R_f i_f - v_f + e_b$$

$$C_f \frac{dv_f}{dt} = i_f$$

- Battery

$$Q \frac{dz}{dt} = i_b$$

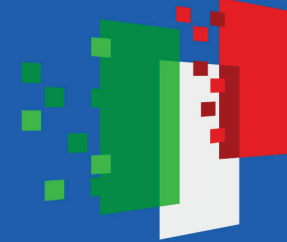




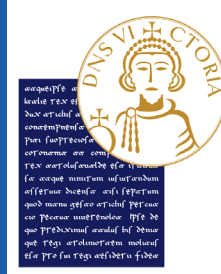
Finanziato  
dall'Unione europea  
NextGenerationEU



Ministero  
dell'Università  
e della Ricerca



Italiadomani  
PIANO NAZIONALE  
DI RIPRESA E RESILIENZA



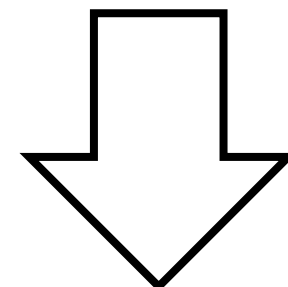
UNIVERSITÀ  
DEGLI STUDI  
DEL  
SANNIO  
Benevento

## Control – direct/quadrature transformation

$$i_{dq} = \Gamma(\theta) i_{\alpha\beta}$$

$$e_{dq} = \Gamma(\theta) e_{\alpha\beta}$$

$$\Gamma(\theta) = \begin{pmatrix} \cos \theta & \sin \theta \\ -\sin \theta & \cos \theta \end{pmatrix}$$



Direct/quadrature  
transformation

$$L \frac{di_d}{dt} = -Ri_d + \mu|v|\omega_m Li_q + \varphi v - \sigma_d e_b$$

$$L \frac{di_q}{dt} = -\mu|v|\omega_m Li_d - Ri_q - \sigma_q e_b$$

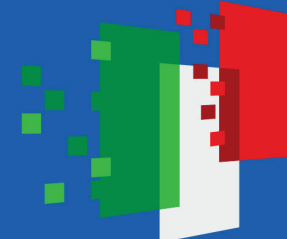
$$y = \frac{3}{2}(\sigma_d i_d + \sigma_q i_q)$$



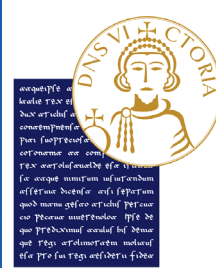
Finanziato  
dall'Unione europea  
NextGenerationEU



Ministero  
dell'Università  
e della Ricerca



Italiadomani  
PIANO NAZIONALE  
DI RIPRESA E RESILIENZA



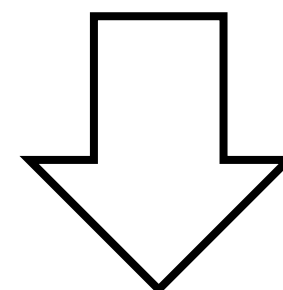
UNIVERSITÀ  
DEGLI STUDI  
DEL  
SANNIO  
Benevento

## Control – direct/quadrature transformation

$$i_{dq} = \Gamma(\theta)i_{\alpha\beta}$$

$$e_{dq} = \Gamma(\theta)e_{\alpha\beta}$$

$$\Gamma(\theta) = \begin{pmatrix} \cos \theta & \sin \theta \\ -\sin \theta & \cos \theta \end{pmatrix}$$



Direct/quadrature  
transformation

$$L \frac{di_d}{dt} = -Ri_d + \mu|v|\omega_m Li_q + \varphi v - \sigma_d e_b$$

$$L \frac{di_q}{dt} = -\mu|v|\omega_m Li_d - Ri_q - \sigma_q e_b$$

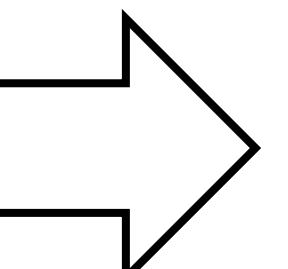
$$y = \frac{3}{2}(\sigma_d i_d + \sigma_q i_q)$$

- Quadrature control

$$\sigma_q = -\frac{\mu|v|\omega_m L i_d}{e_b}$$

$$L \frac{di_d}{dt} = -Ri_d + \varphi V \cos \theta_m - \sigma_d e_b$$

$$y = \frac{3}{2}\sigma_d i_d$$



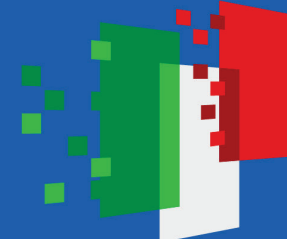
$\sigma_q$  control is designed to  
have  $i_q = 0$  at steady state



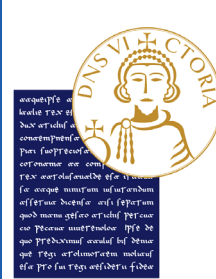
Finanziato  
dall'Unione europea  
NextGenerationEU



Ministero  
dell'Università  
e della Ricerca



Italiadomani  
PIANO NAZIONALE  
DI RIPRESA E RESILIENZA



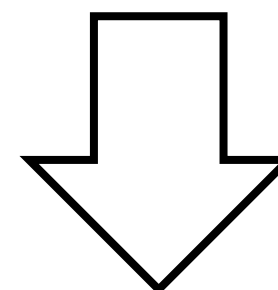
UNIVERSITÀ  
DEGLI STUDI  
DEL  
SANNIO  
Benevento

## Control – direct/quadrature transformation

$$i_{dq} = \Gamma(\theta)i_{\alpha\beta}$$

$$e_{dq} = \Gamma(\theta)e_{\alpha\beta}$$

$$\Gamma(\theta) = \begin{pmatrix} \cos \theta & \sin \theta \\ -\sin \theta & \cos \theta \end{pmatrix}$$



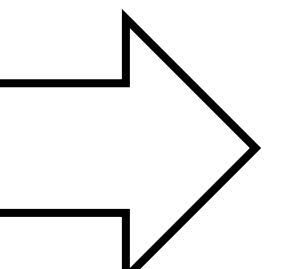
Direct/quadrature  
transformation

$$L \frac{di_d}{dt} = -Ri_d + \mu|v|\omega_m Li_q + \varphi v - \sigma_d e_b$$

$$L \frac{di_q}{dt} = -\mu|v|\omega_m Li_d - Ri_q - \sigma_q e_b$$

$$y = \frac{3}{2}(\sigma_d i_d + \sigma_q i_q)$$

$\sigma_q$  control is designed to  
have  $i_q = 0$  at steady state

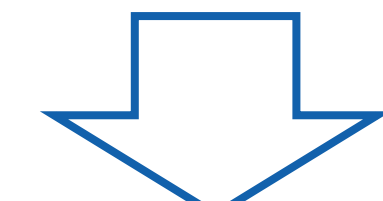


- Quadrature control

$$\sigma_q = -\frac{\mu|v|\omega_m L i_d}{e_b}$$

$$L \frac{di_d}{dt} = -Ri_d + \varphi V \cos \theta_m - \sigma_d e_b$$

$$y = \frac{3}{2}\sigma_d i_d$$



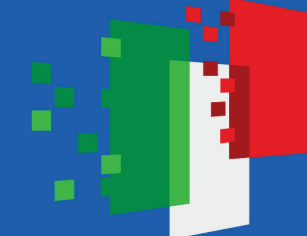
Decomposed as steady state +  
sinusoidal solution



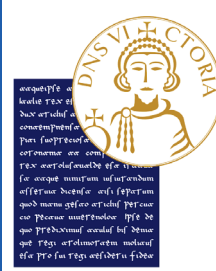
Finanziato  
dall'Unione europea  
NextGenerationEU



Ministero  
dell'Università  
e della Ricerca



Italiadomani  
PIANO NAZIONALE  
DI RIPRESA E RESILIENZA



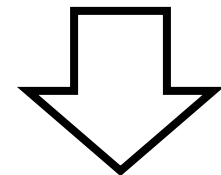
UNIVERSITÀ  
DEGLI STUDI  
DEL  
SANNIO  
Benevento

## Control – decomposition steady state + sinusoidal

- Sinusoidal solution form

$$i_d = i_{da} \cos \theta_m + i_{db} \sin \theta_m$$

$$\sigma_d = \sigma_{da} \cos \theta_m + \sigma_{db} \sin \theta_m$$



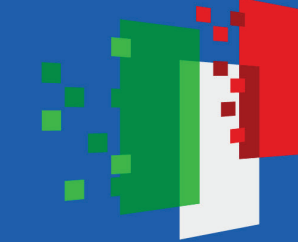
$$\frac{2}{3}y = \frac{\sigma_{da}i_{da} + \sigma_{db}i_{db}}{2} + \frac{\sigma_{da}i_{da} - \sigma_{db}i_{db}}{2} \cos 2\theta_m + \frac{\sigma_{da}i_{db} + \sigma_{db}i_{da}}{2} \sin 2\theta_m$$



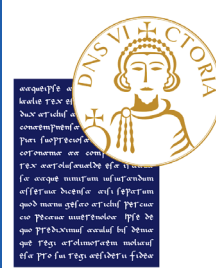
Finanziato  
dall'Unione europea  
NextGenerationEU



Ministero  
dell'Università  
e della Ricerca



Italiadomani  
PIANO NAZIONALE  
DI RIPRESA E RESILIENZA



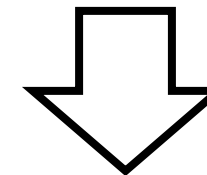
UNIVERSITÀ  
DEGLI STUDI  
DEL  
SANNIO  
Benevento

## Control – decomposition steady state + sinusoidal

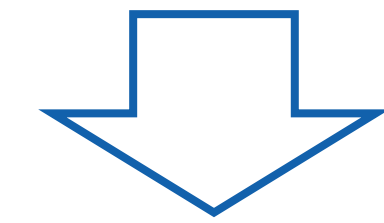
- Sinusoidal solution form

$$i_d = i_{da} \cos \theta_m + i_{db} \sin \theta_m$$

$$\sigma_d = \sigma_{da} \cos \theta_m + \sigma_{db} \sin \theta_m$$



$$\frac{2}{3}y = \frac{\sigma_{da}i_{da} + \sigma_{db}i_{db}}{2} + \frac{\sigma_{da}i_{da} - \sigma_{db}i_{db}}{2} \cos 2\theta_m + \frac{\sigma_{da}i_{db} + \sigma_{db}i_{da}}{2} \sin 2\theta_m$$



Removed by the filter

$$i_b = \frac{3}{4}(\sigma_{da}i_{da} + \sigma_{db}i_{db})$$



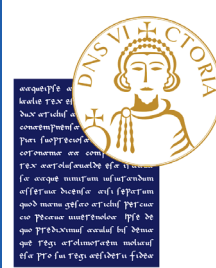
Finanziato  
dall'Unione europea  
NextGenerationEU



Ministero  
dell'Università  
e della Ricerca



Italiadomani  
PIANO NAZIONALE  
DI RIPRESA E RESILIENZA



UNIVERSITÀ  
DEGLI STUDI  
DEL  
SANNIO  
Benevento

## Control – decomposition steady state + sinusoidal

- Sinusoidal solution form

$$i_d = i_{da} \cos \theta_m + i_{db} \sin \theta_m$$

$$\sigma_d = \sigma_{da} \cos \theta_m + \sigma_{db} \sin \theta_m$$

The diagram illustrates the decomposition of a sinusoidal signal. It starts with a blue arrow pointing down from the equations for  $i_d$  and  $\sigma_d$ . Below this, a blue double-headed arrow indicates a transformation. A blue line represents the total sinusoidal signal  $\frac{2}{3}y$ , which is the sum of two components: a steady-state component  $\frac{\sigma_{da}i_{da} + \sigma_{db}i_{db}}{2}$  and a sinusoidal component  $\frac{\sigma_{da}i_{da} - \sigma_{db}i_{db}}{2} \cos 2\theta_m + \frac{\sigma_{da}i_{db} + \sigma_{db}i_{da}}{2} \sin 2\theta_m$ . This sinusoidal component is crossed out with a large blue X.

$$\frac{2}{3}y = \frac{\sigma_{da}i_{da} + \sigma_{db}i_{db}}{2} + \frac{\sigma_{da}i_{da} - \sigma_{db}i_{db}}{2} \cos 2\theta_m + \frac{\sigma_{da}i_{db} + \sigma_{db}i_{da}}{2} \sin 2\theta_m$$

Removed by the filter

$$i_b = \frac{3}{4}(\sigma_{da}i_{da} + \sigma_{db}i_{db})$$

- Feedback and feedforward control decomposition

$$\sigma_{da} = \sigma_{da}^{\text{ff}} + \sigma_{da}^{\text{fb}}$$

$$\sigma_{db} = \sigma_{db}^{\text{ff}} + \sigma_{db}^{\text{fb}}$$



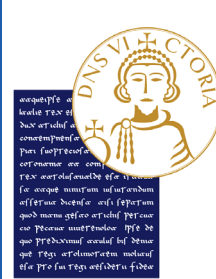
**Finanziato  
dall'Unione europea**  
NextGenerationEU



**Ministero  
dell'Università  
e della Ricerca**



**Italiadomani**  
PIANO NAZIONALE  
DI RIPRESA E RESILIENZA



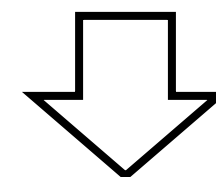
**UNIVERSITÀ  
DEGLI STUDI  
DEL  
SANNIO**  
Benevento

## Control – decomposition steady state + sinusoidal

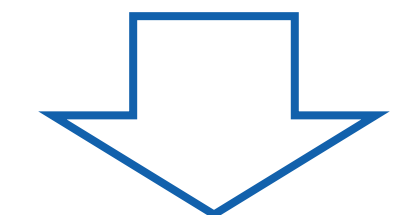
- Sinusoidal solution form

$$i_d = i_{da} \cos \theta_m + i_{db} \sin \theta_m$$

$$\sigma_d = \sigma_{da} \cos \theta_m + \sigma_{db} \sin \theta_m$$



$$\frac{2}{3}y = \frac{\sigma_{da}i_{da} + \sigma_{db}i_{db}}{2} + \frac{\sigma_{da}i_{da} - \sigma_{db}i_{db}}{2} \cos 2\theta_m + \frac{\sigma_{da}i_{db} + \sigma_{db}i_{da}}{2} \sin 2\theta_m$$



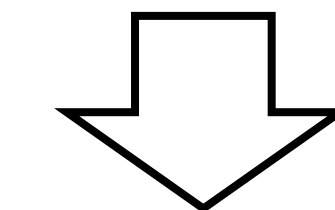
Removed by the filter

$$i_b = \frac{3}{4}(\sigma_{da}i_{da} + \sigma_{db}i_{db})$$

- Feedback and feedforward control decomposition

$$\sigma_{da} = \sigma_{da}^{\text{ff}} + \sigma_{da}^{\text{fb}}$$

$$\sigma_{db} = \sigma_{db}^{\text{ff}} + \sigma_{db}^{\text{fb}}$$



$$\sigma_{da}^{\text{ff}} = \frac{-Ri_{da}^{\text{ref}} + \varphi V}{e_b}$$

$$\sigma_{db}^{\text{ff}} = -\frac{\omega_m L i_{da}^{\text{ref}}}{e_b}$$

FF is designed to  
keep the steady  
state solution

$$L \frac{d\hat{i}_{da}}{dt} = -\hat{Ri}_{da} + \omega_m L \hat{i}_{db} - \sigma_{da}^{\text{fb}} e_b$$

$$L \frac{d\hat{i}_{db}}{dt} = -\omega_m L \hat{i}_{da} - \hat{Ri}_{db} - \sigma_{db}^{\text{fb}} e_b$$

$$u_{da} = \omega_m L \hat{i}_{db} - \sigma_{da}^{\text{fb}} e_b$$

$$u_{db} = -\omega_m L \hat{i}_{da} - \sigma_{db}^{\text{fb}} e_b$$

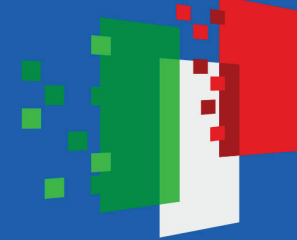
FB is designed  
with feedback  
linearization +  
PD



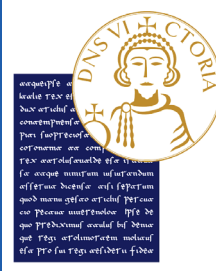
**Finanziato  
dall'Unione europea**  
NextGenerationEU



**Ministero  
dell'Università  
e della Ricerca**



**Italiadomani**  
PIANO NAZIONALE  
DI RIPRESA E RESILIENZA



**UNIVERSITÀ  
DEGLI STUDI  
DEL  
SANNIO**  
Benevento

## Control – numerical analysis

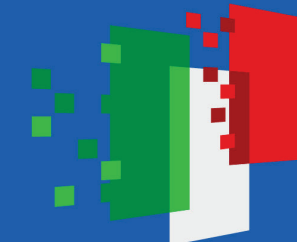
- A digital twin of the FLPG + Battery + Control has been developed in Matlab/Simulink



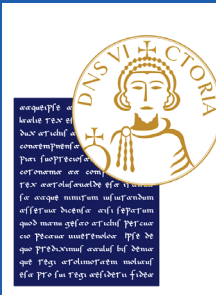
Finanziato  
dall'Unione europea  
NextGenerationEU



Ministero  
dell'Università  
e della Ricerca



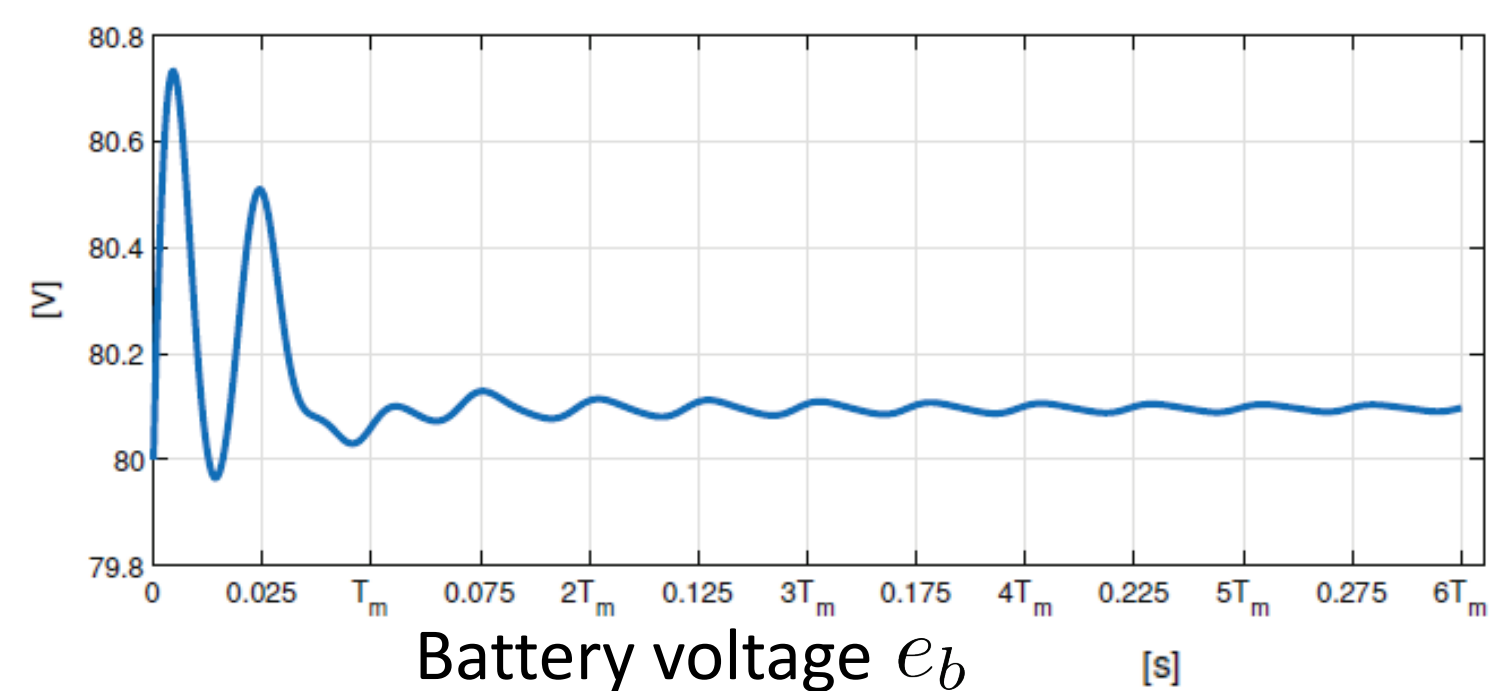
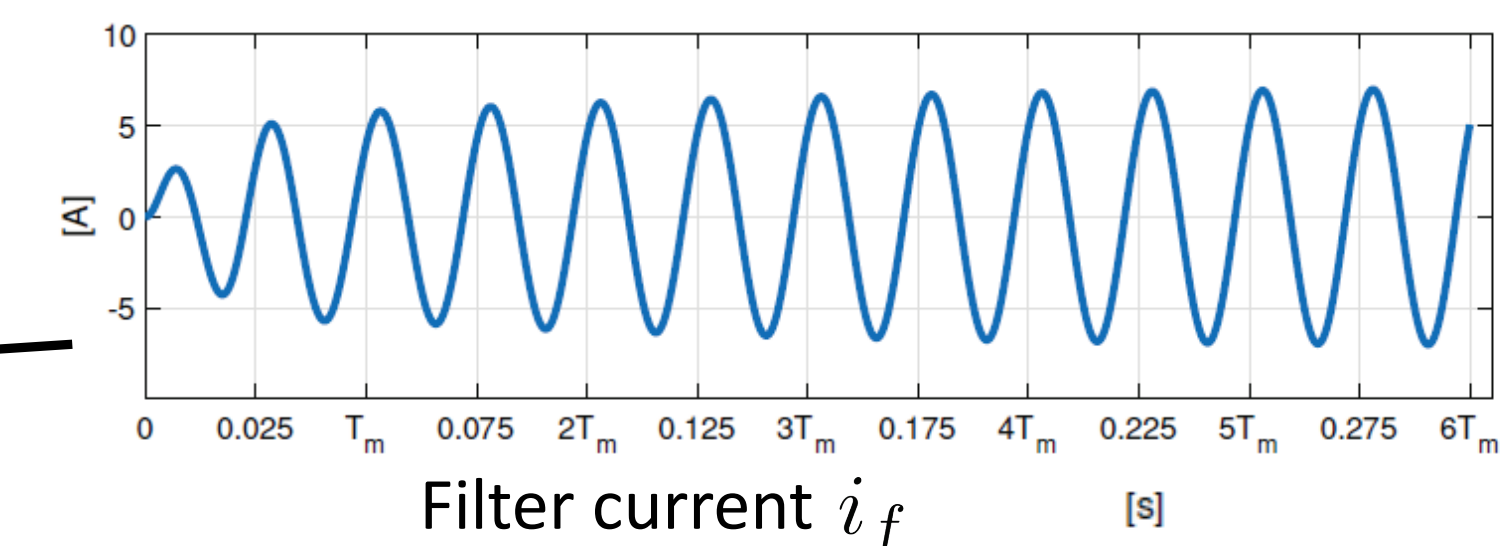
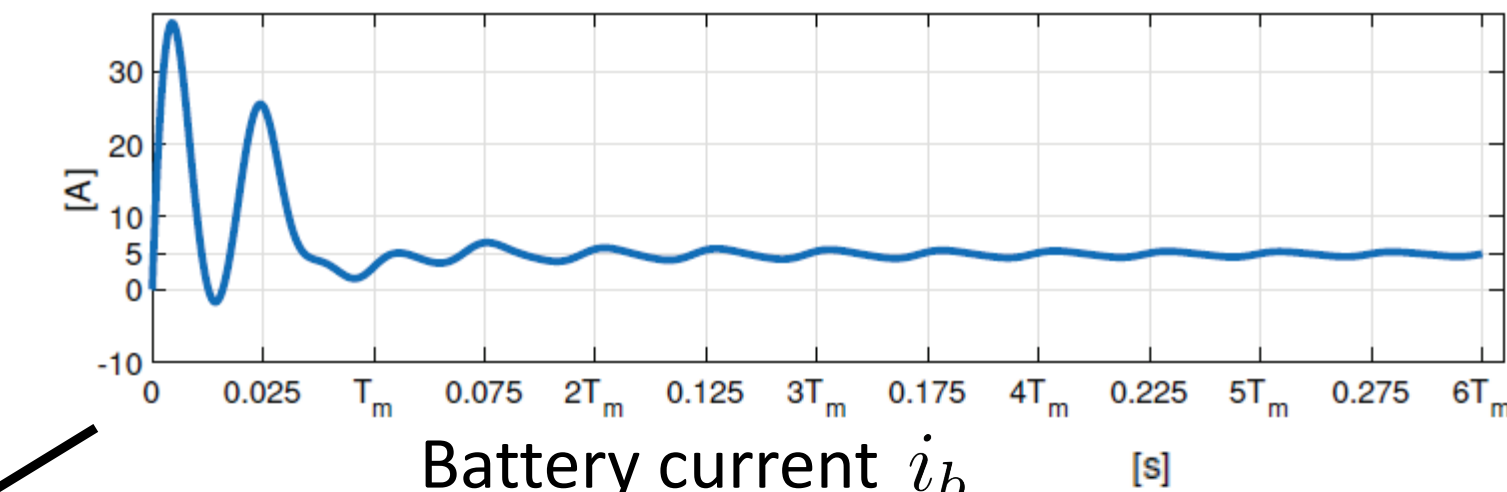
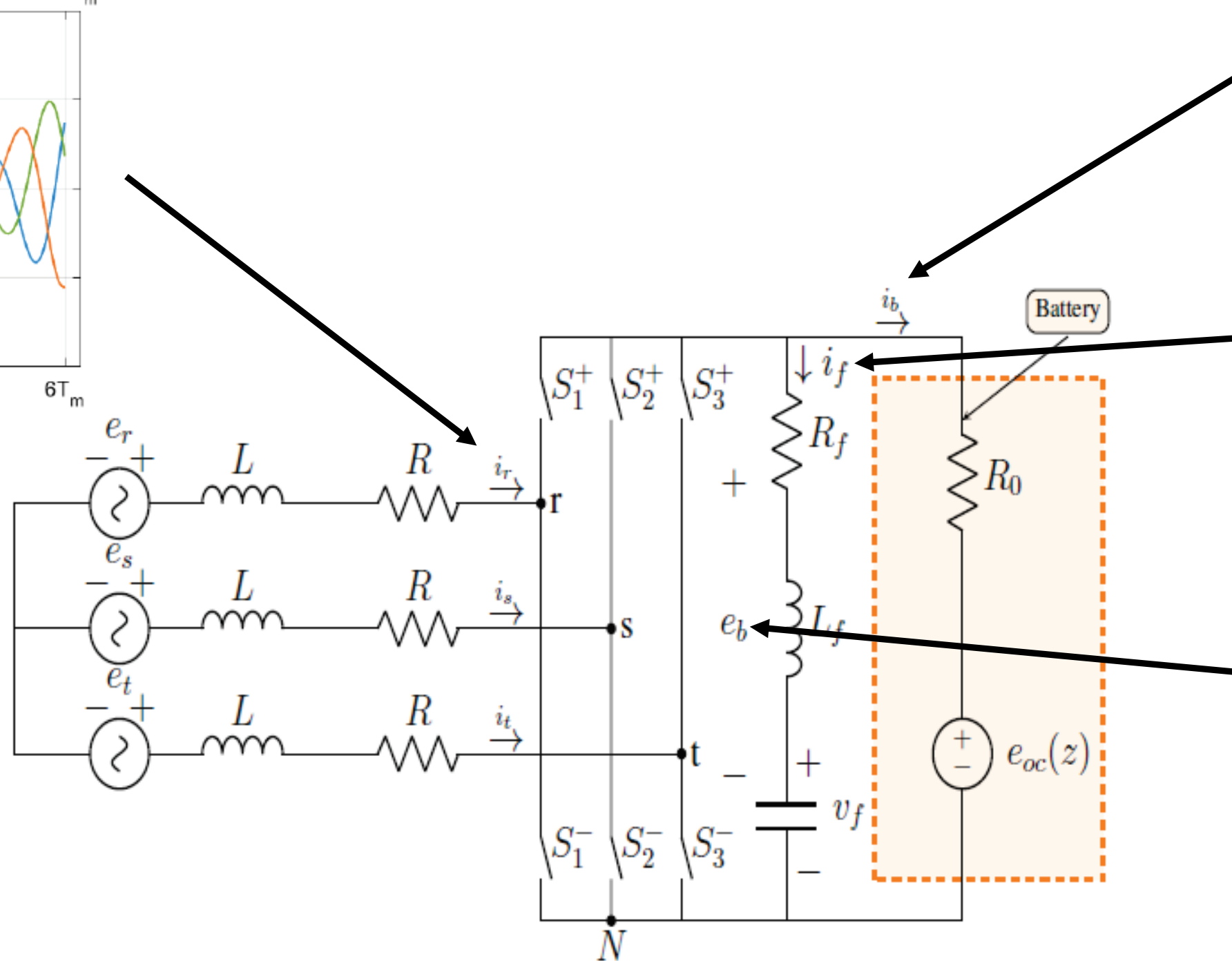
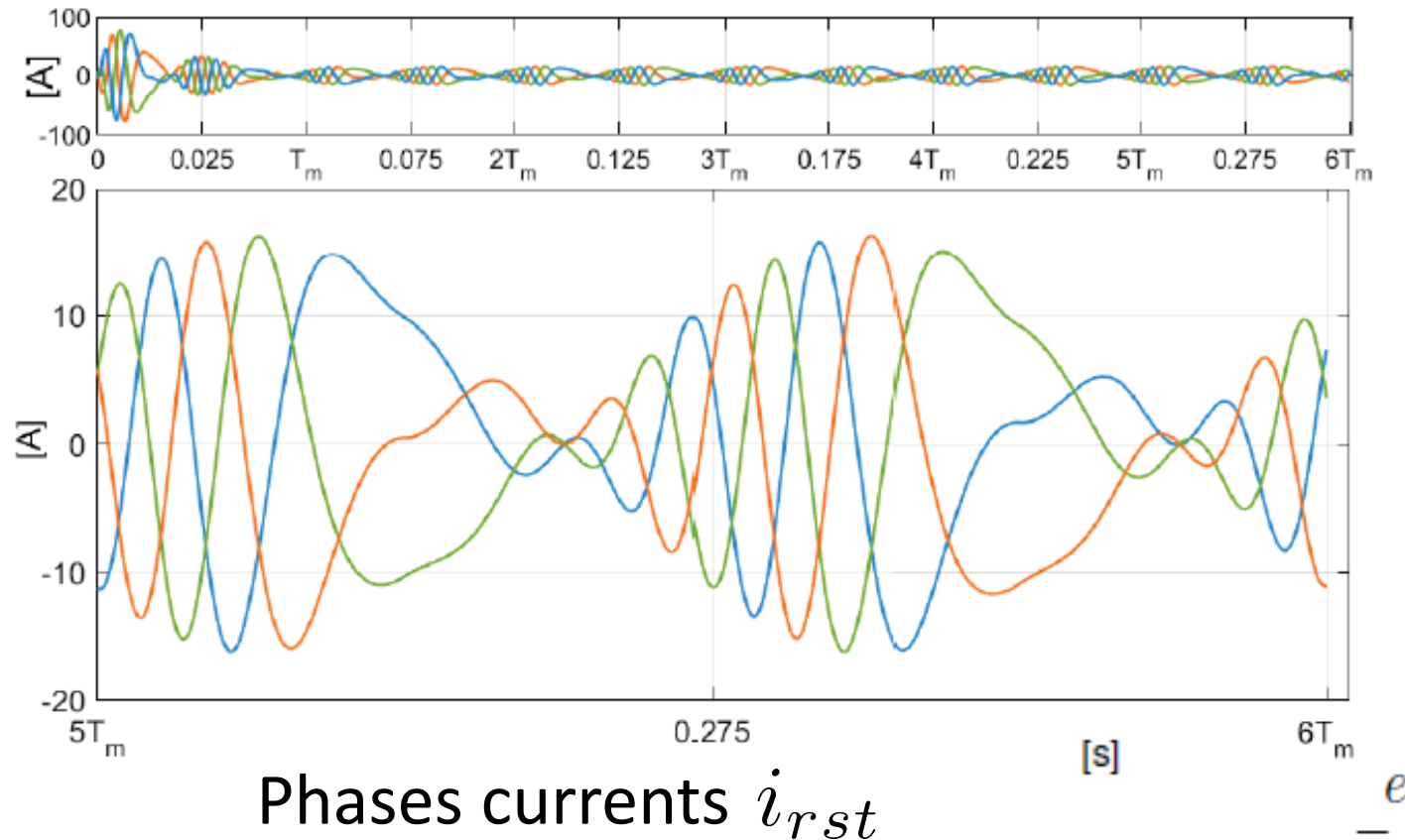
Italiadomani  
PIANO NAZIONALE  
DI RIPRESA E RESILLENZA



UNIVERSITÀ  
DEGLI STUDI  
DEL  
SANNIO  
Benevento

## Control – numerical analysis

- A digital twin of the FLPG + Battery + Control has been developed in Matlab/Simulink

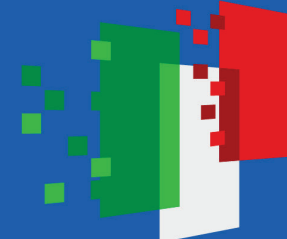




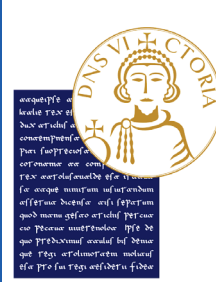
**Finanziato  
dall'Unione europea**  
NextGenerationEU



**Ministero  
dell'Università  
e della Ricerca**



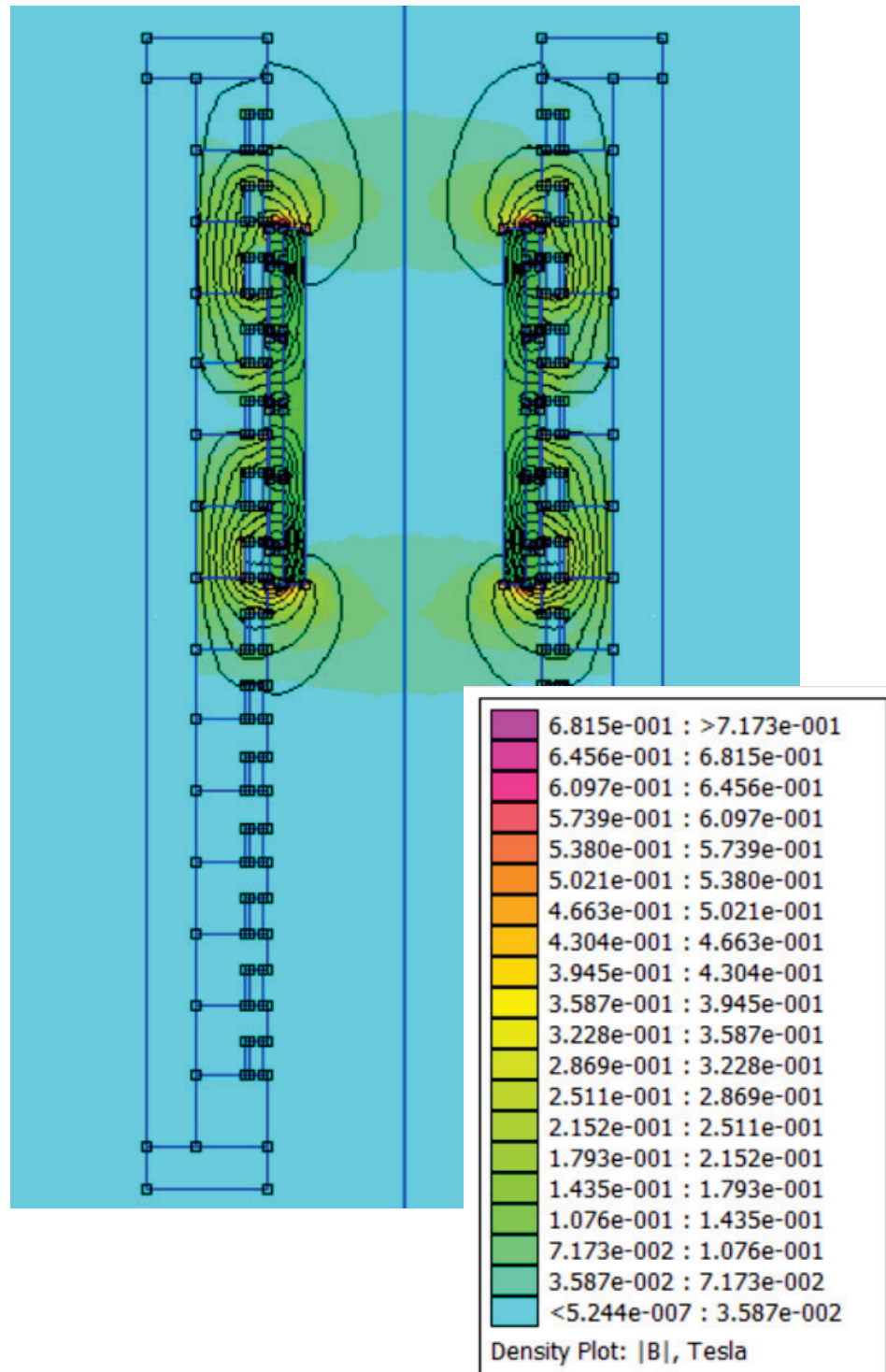
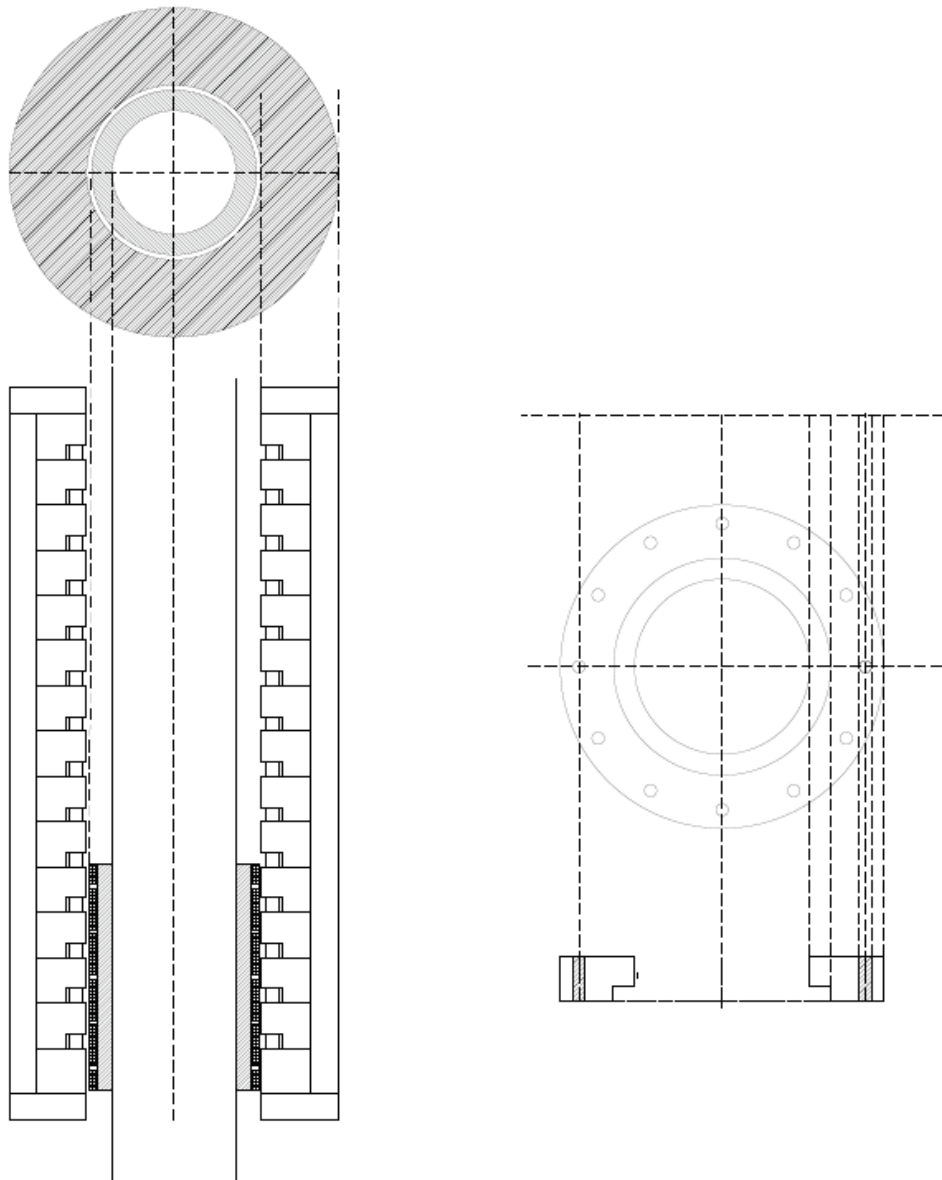
**Italiadomani**  
PIANO NAZIONALE  
DI RIPRESA E RESILIENZA



**UNIVERSITÀ  
DEGLI STUDI  
DEL  
SANNIO**  
Benevento

## Polyphase FPLG design

- Within the Free-Most a polyphase FPLG is under design



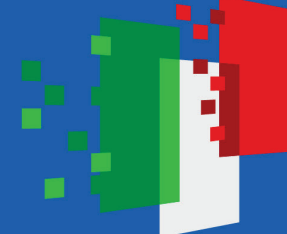
peak Voltage (V)	80	SLOT	Stator material	5 SiFe19
nominal power (kW)	3	slot width (mm)	Mover material	4 ULTRAVAC44V6
		height slot (mm)	Magnet	Magnete NeFeBo
		Slot area (mm <sup>2</sup> )		u0 1,25664E-06
COIL	OK	STATOR	MOVER	
coil cross section ( mm <sup>2</sup> )	3,10	stator external radius (mm)	80	
number of turns	14	stator internal radius (mm)	42,7	
mean radius (mm)	51,97	height stator (mm)	141	
copper weight density (kg/m <sup>3</sup> )	8960	polar pitch (mm)	8	
number of simultaneous active phases	3	slots number	17	
		stator losses (W/kg)	4,40924	
mean coil length (cm)	457	iron weight density (kg/m <sup>3</sup> )	7650	
Ag (m <sup>2</sup> )	2,15E-03	air gap (mm)	1,5	
conductor volume (m <sup>3</sup> )	1,42E-05	ring area 1 (m <sup>2</sup> )	0,01438	
rms voltage (V)	56,6	ring area 2 (m <sup>2</sup> )	0,00833	
rms current (A)	17,7	single ring volume (m <sup>3</sup> )	9,7E-05	
		Stator volume (m <sup>3</sup> )	0,00165	
measured resistance N=14 ( $\Omega$ )	0,0245	utilization index	0,326241135	
measured inductance N=14 ( $\mu$ H)	165			
calculated resistance ( $\Omega$ )	0,0254			
calculated inductance ( $\mu$ H)	176			
calculated weight (kg)	2,16	stator weight (kg)	12,60	
coil losses (W)	23,86	stator losses (W)	55,55	
total losses (W)	79,41			
efficiency	0,974			
mover weight without rod (kg)	0,1051			
mover losses (W)	0,0069			



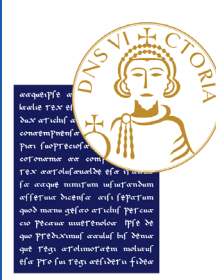
Finanziato  
dall'Unione europea  
NextGenerationEU



Ministero  
dell'Università  
e della Ricerca



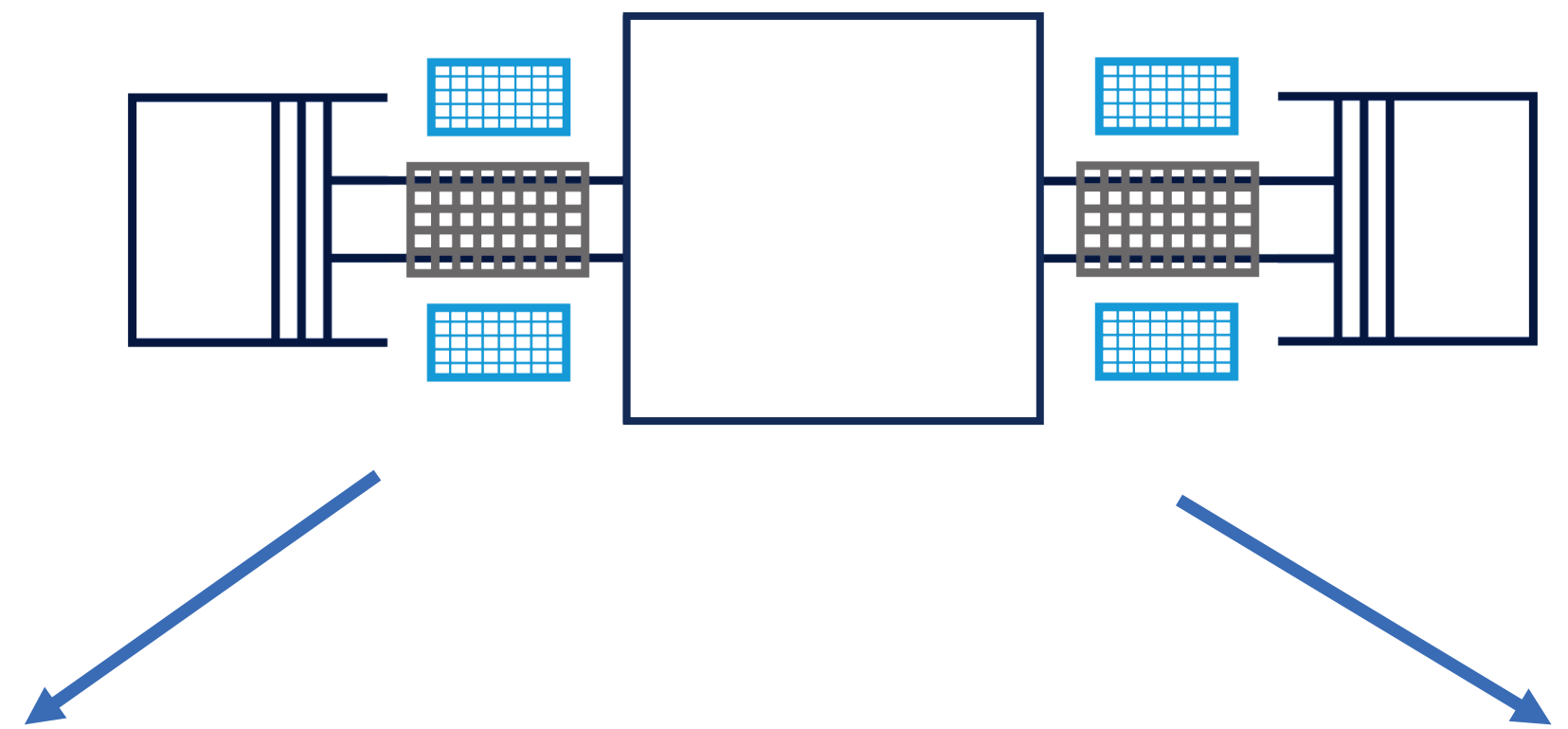
Italiadomani  
PIANO NAZIONALE  
DI RIPRESA E RESILIENZA



UNIVERSITÀ  
DEGLI STUDI  
DEL  
SANNIO  
Benevento

## Test rig

- Procurement of the test rig is started and the test rig is under development



- A linear motor is used as motor and controlled in position/velocity
- It emulates the gas expansion
- The second linear motor is used as generator to test the developed controller

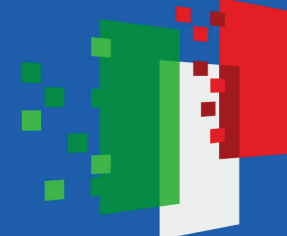
- Single linear motor data:
  - 5kW
  - Frequency 5Hz
  - Travel length (one-way): 250 mm
  - Mass: 10 kg
  - Average velocity: 2.45 m/s



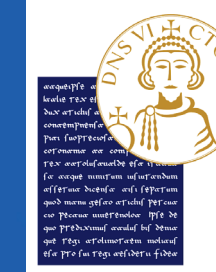
Finanziato  
dall'Unione europea  
NextGenerationEU



Ministero  
dell'Università  
e della Ricerca



Italidomani  
PIANO NAZIONALE  
DI RIPRESA E RESILIENZA



UNIVERSITÀ  
DEGLI STUDI  
DEL  
SANNIO  
Benevento

## Conclusions

- Achievements:
  - Model of the FPLG + Converter + Battery
  - Design of the controller for battery recharging
  - Digital twin development and validation
  - Design of a polyphase linear motor
  - Test rig design and procurement
- Publications:
  - A conference paper accepted
  - A conference paper submitted
- Dissemination:
  - A conference
  - A workshop

## Future works

- Increase the power size and the frequency of the test rig
- Modify the developed controller for piston-like expansion motion
- Derive a control system for the piston position
- Extend the control to a polyphase motor
- Evaluate the possibility to consider a supercapacitor in the electrical scheme
- Emulate the combustion through compressed air
- Include combustion